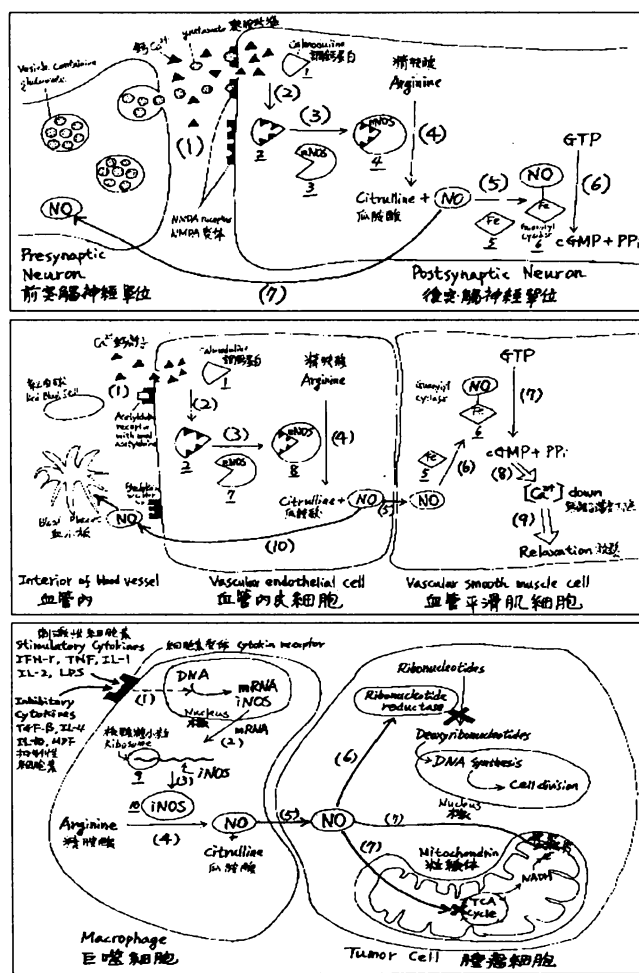


LATERALIZACE MEDIÁTOROVÉHO SYSTÉMU OXIDU DUSNATÉHO V HIPOKAMPU ČLOVĚKA A JEJÍ PATHOLOGICKÉ ZMĚNY

Diplomová práce

Petra Hovorková



Vedoucí diplomové práce: ing. Zdena Krištofiková

Garant diplomové práce: RNDr. Simona Eklová

Prohlašuji, že jsem diplomovou práci vypracovala samostatně s použitím uvedené literatury.

V Praze 4. 5. 2006

Petra Hovorková

Petra Hovorková

Ráda poděkovala všem, kteří se podíleli na vzniku této diplomové práce, zejména:

- MUDr. Emerichu Majerovi z PATOL, s.r.o za histologickou analýzu autoptické mozkové tkáně;
- RNDr. Janu Říčnému, CSc. z Fyziologického ústavu AV ČR za stanovení aminokyselin metodou HPLC;
- MUDr. Petru Zachovi, CSc. z Anatomického ústavu 3. lékařské fakulty UK za volumetrii *plana temporale*;
- Psychiatrickému centru Praha (PCP) za finanční podporu (grant IGA MZ ČR NF/7576-3);
- Mgr. Iryně Skubě-Kozmikové a dalším pracovníkům z Laboratoře biochemie a patofyziologie mozku PCP za pomoc (nejen) při experimentální práci, zvláště pak ing. Zdeně Krištofíkové za vedení diplomové práce;
- Bc. Pavlu Mackovi za pomoc s formálním zpracováním.

(obr. na titulní stránce: Schéma funkce syntáz oxidu dusnatého (NOS): nahoře – nNOS; uprostřed – eNOS; dole – iNOS; převzato z [127])

OBSAH

| | |
|--|----|
| 1. ÚVOD..... | 6 |
| 2. LITERÁRNÍ PŘEHLED | 8 |
| 2.1. Asymetrický mozek | 8 |
| 2.1.1. Asymetrie obratlovců..... | 8 |
| 2.1.2 Lateralizace lidského mozku | 11 |
| 2.1.3 Patologické změny mozkové lateralizace | 18 |
| 2.2. Oxid dusnatý v mozku | 22 |
| 2.2.1. Syntázy oxidu dusnatého | 22 |
| 2.2.2 Chemické přeměny NO v organismu..... | 24 |
| 2.2.3 Molekulární účinky NO v buňce | 25 |
| 2.2.4 Fyziologická role NO..... | 26 |
| 2.2.5 NO v patologických stavech | 28 |
| 3. CÍLE PRÁCE | 34 |
| 4. MATERIÁL A METODY | 35 |
| 4.1 Autoptická lidská mozková tkáň | 35 |
| 4.2 Biochemická analýza mozku..... | 36 |
| 4.2.1 Stanovení exprese NOS („Western blot“) | 36 |
| 4.2.2 Stanovení aktivit NOS | 37 |
| 4.2.3 Stanovení koncentrace proteinů..... | 38 |
| 4.3 Další parametry | 39 |
| 4.4 Index laterality | 39 |
| 4.5 Statistické zpracování dat..... | 40 |
| 5. VÝSLEDKY..... | 41 |
| 5.1 Analyzovaný soubor..... | 41 |
| 5.2 Expresi NOS | 42 |
| 5.3 Aktivita NOS..... | 43 |
| 5.4 Další naměřené parametry..... | 45 |
| 5.5 Srovnání indexů laterality | 48 |

| | |
|---|----|
| 6. DISKUSE | 53 |
| 6.1 Mediátorový systém NO u kontrol..... | 53 |
| 6.2 Mediátorový systém NO za patologických podmínek | 55 |
| 7. ZÁVĚR..... | 58 |
| 8. SEZNAM LITERATURY..... | 59 |
| 9. SEZNAM POUŽITÝCH ZKRATEK | 70 |
| 10. PŘÍLOHY | 72 |

1. ÚVOD

Pravá a levá hemisféra lidského mozku jsou anatomicky i funkčně asymetrické, což se nejvýrazněji projevuje specializací každé hemisféry pro rozdílné kognitivní a behaviorální funkce. Mozková asymetrie se vytváří velmi časně během prenatálního vývoje a její geneticky podmíněné schéma je vystaveno působení řadě endogenních i exogenních faktorů po celý život jedince. Hipokampus je hemisférickou oblastí významně se podílející na vzniku a přetváření mozkové asymetrie.

Přítomnost patologického procesu v CNS se mimo jiné může projevit jako abnormalita obvyklé cerebrální lateralizace. Změny mozkové asymetrie byly zaznamenány u neurovývojových (schizofrenie), ale i neurodegenerativních (Alzheimerova choroba) onemocnění.

Funkce mozku je založena na přenosu signálu, zprostředkovanému mezi nerovými buňkami neurotransmittery a neuromodulátory. Asymetrie mozku existuje i na této neurochemické úrovni. Byla popsána lateralizace klasických neurotransmitterových systémů a některých dalších peptidergních systémů. Při neuropsychiatrických poruchách je porušen přenos nervového signálu, zvláště v oblasti chemických synapsí, může se tedy měnit i normální neurochemická lateralizace.

Oxid dusnatý (NO) je neobvyklou signalizační molekulou nervového systému. Fyzikální vlastnosti NO (malá hydrofobní molekula) znemožňují jeho uchovávání ve vezikulách ohraničených fosfolipidovou membránou. Tudíž je narodíl od obvyklých neurotransmitterů syntetizován podle potřeby a není ani skladován, ani uvolňován exocytózou, ale jednoduše difunduje z nervového zakončení. Z toho důvodu je syntéza NO klíčová v regulaci jeho aktivity. Tvorbu NO v organismu zajišťují izoenzymy syntázy oxidu dusnatého (NOS): endotelová NOS (eNOS), neuronální NOS (nNOS) a indukovatelná NOS (iNOS).

Kromě úlohy neurotransmitteru a neuromodulátoru má NO i další účinky, některé z nichž mohou mít neurotoxicke důsledky. Oxidační účinky nadbytku NO a zvláště jeho metabolitu peroxyditru, ONOO^- , způsobují poškození řady buněčných struktur, vedoucích k apoptóze či nekróze buňky. Patologické mechanismy, na nichž se NO může podílet, jsou součástí řady onemocnění, zejména neurodegenerativních (Alzheimerova choroba), ale i dalších (schizofrenie). Byly již zaznamenány některé změny metabolismu NO během těchto onemocnění.

Lateralita mediátorového systému NO a její případné změny vyvolané patologickým dějem doposud nebyla studována. Náplní této práce bylo otestovat lateralitu mediátorového systému NO v autoptické mozkové tkáni kontrolních jedinců a pacientů s Alzheimerovou chorobou a schizofrenií. Za tímto účelem byly stanoveny hodnoty exprese tří izoforem NOS a jejich aktivit v pravém a levém hipokampu každého jedince.

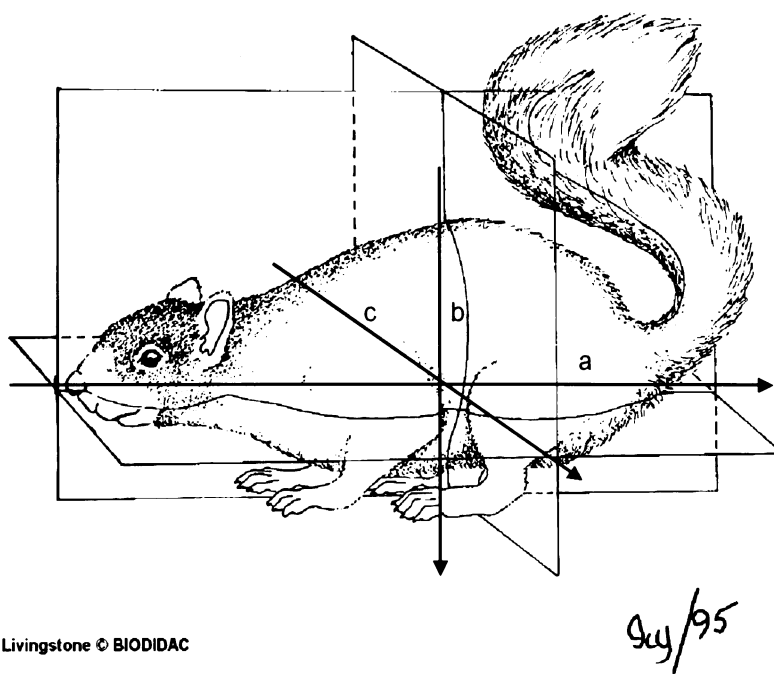
Dále byly získány údaje o některých dalších parametrech metabolismu NO: koncentrace aminokyselin L-glutamátu (významný pro funkci nNOS), L-argininu (substrát pro tvorbu NO) a L-citrulinu (vedlejší produkt tvorby NO), dusičnanů a dusitanů (stabilní produkty přeměny NO v tělních tekutinách). Morfologické parametry korové oblasti *planum temporale*, jehož asymetrie podle údajů v literatuře koreluje se stupněm pravorukosti, byly získány pro porovnání s anatomickou a funkční asymetrií mozku.

2. LITERÁRNÍ PŘEHLED

2.1. Asymetrický mozek

2.1.1. Asymetrie obratlovců

Orientovaný pohyb vnáší orientaci i do stavby těla živého organismu. S dopředným pohybem se odlišil kraniální a kaudální směr na živočišném těle a primitivní radiální symetrie se redukovala na bilaterální. Ve dvoustraně symetrickém tělesném plánu obratlovců se však vyskytují různě patrné odchylky mezi pravou a levou stranou, které nemají normální (Gaussovo) rozložení a nelze je proto považovat za fluktuující asymetrie objevující se během růstu bilaterálně symetrického organismu. Původ a smysl pravo-levé asymetrie je, na rozdíl od rozlišení hlavy a ocasu, mnohem méně vyjasněn.

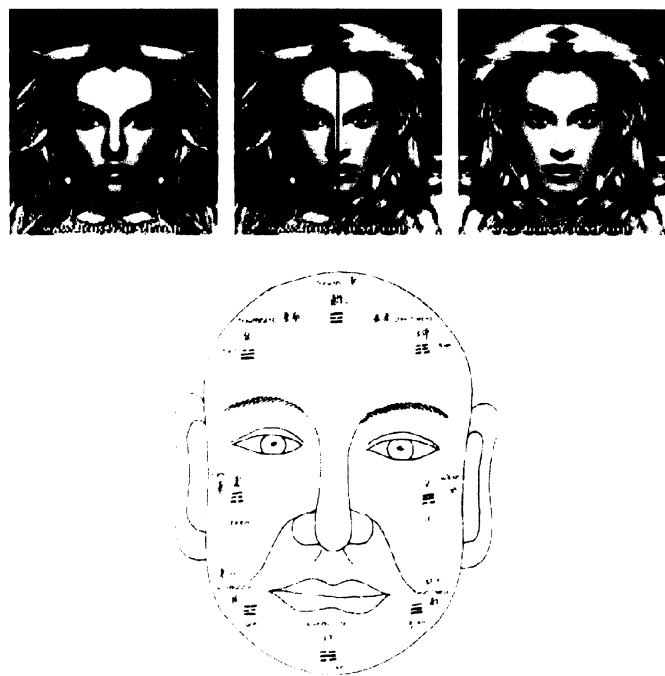


obr. č. 1: Bilaterální symetrie a tělesné osy (červeně): a – anterioposteriorní, b – dorzoventrální, c – pravolevá (převzato z [128])

Vývoj zárodku ve trojrozměrném prostoru vyžaduje strukturní informaci podél tří ortogonálních os – anteriorposteriorní, dorzoventrální a pravolevé (viz obr. č. 1, str. 8). Mnoho výzkumu bylo věnováno molekulárním mechanismům morfogeneze podél anterioposteriorní, dorzoventrální a mediolaterální osy – které jsou postačující za předpokladu bilaterální symetrie. Nápadné pravolevé asymetrie v umístění orgánů v tělesném plánu obratlovců (téměř všechny vnitřní orgány jsou pravolevě asymetrické v jejich anatomii, umístění a někdy i funkci) však tento předpoklad zpochybňuje. U vyšších savců se systematická pravolevá asymetrie rozšiřuje i na mozek a nervový systém, což má hluboké důsledky pro chování a kognitivní schopnosti [1].

Nápadné abnormality ve vývoji laterality u člověka tvoří skupinu vrozených defektů s podstatnými klinickými důsledky. *Situs inversus* znamená úplné zrcadlové převrácení vnitřních orgánů. Vyskytuje se vzácně (1 případ na 10 000 porodů [2]) a nemá závažnější dopad na zdraví jedince – narozdíl od ostatních poruch jako izomerismus (ztráta asymetrie), inverze jednotlivých orgánů (např. dextrokardie aneb „srdce na pravém místě“) nebo heterotaxie (ztráta souladu mezi jednotlivými orgány). Pozoruhodné je, že s asymetrií vnitřních orgánů nekoreluje řada asymetrií vázaných na CNS. Asymetrie jazykových funkcí a výskyt levorukosti je u jedinců se *situs inversus* stejný jako u ostatní populace. Z toho se lze domnívat, že mechanismy zodpovědné za asymetrii vnitřních orgánů se ve velmi ranné fázi vývoje oddělují od těch, které ustavují asymetrii mozkovou. [3]

Asymetrie mozkových funkcí a její evoluční původ představuje jednu ze zásadních otázek moderní neurovědy. Mozek je považován za asymetrický (nebo lateralizovaný), pokud se jedna strana (hemisféra nebo jiná mozková oblast) strukturně odlišuje od druhé a/nebo vykonává jiné funkce. U člověka se jazyk a tvorba řeči obvykle přisuzuje levé hemisféře, zatímco pravá hemisféra je sídlem schopností emočního a prostorově-orientačního charakteru. Každá z hemisfér kontroluje, vzhledem ke křížení nervových drah, opačnou stranu těla včetně obličejo-vých svalů. Odtud zřejmě plyne známá odlišnost levé a pravé poloviny obličeje - emoce jsou silněji vyjadřovány levou polovinou obličeje, kdežto během řeči se více pohybuje pravá polovina úst [4] (viz obr. č. 2, str. 10). Stejně tak lokalizace řečových funkcí podporuje převažující použití pravé ruky pro psaní a tím její celkovou převahu v síle a dovednosti.



obr. č. 2: Asymetrie lidského obličeje – horní řada: uprostřed původní fotografie, po stranách obrazy vytvořené zrcadlením polovin obličeje (převzato z [129]); dole: pravá a levá polovina obličeje představuje pro východoasijské myšlení odlišné kvality (převzato z [130])

Lateralizace mozku byla dlouho považována za charakteristickou zvláštnost lidského druhu, spojenou s jazykem a končetinovou preferencí. V posledních několika desítkách let se však množí evidence o lateralizaci mozkových funkcí u dalších organismů, od nižších obratlovců (ryby, plazi obojživelníci) [1], přes ptáky [5], hlodavce (potkany, myši) [6] až po primáty [7]. Například ptáci s nízkým stupněm binokulárního vidění ve frontálním poli (vlivem umístění očí po stranách hlavy) mohou specializaci hemisfér využívat k tomu, aby zabránili konfliktu vjemů vnímaných každým okem zvlášť (jedna hemisféra je dominantní ve zpracování vizuálních podnětů [8]). U savců umožňuje rozvinutý corpus callosum zprostředkování vjemu do obou hemisfér, nicméně informace, která docílí hemisféry přes corpus callosum se kvalitativně liší od té, která docílí hemisféry přímo. Se zvětšujícím se mozkiem také výrazně klesá efektivita sdílení informací přes corpus callosum vzhledem k časovým prodlevám. Vývoj mozku ke stále se zvyšující komplexnosti vyústil ve funkční specializaci hemisfér, jelikož řízení prostřednictvím zdvojených struktur v každé hemisféře se stalo nevhodným.

Zůstává otázkou, zda se mozková asymetrie vyvinula u ptáků a u savců nezávisle na sobě, či zda byla zděděna od společného plazího předka. Myšlenku rané evoluce mozkové asymetrie podporují nálezy sahající až do prvohorního kambria: na pravé části fosilních těl trilobitů byl pozorován vyšší výskyt jizev, z čehož lze usuzovat, že trilobiti inklinovali k úniku pohybem doleva, nebo že se jejich predátoři vyznačovali asymetrií ve směru útoku [9]. Asymetrie v únikových reakcích před predátorem jsou dnes pozorovány u mnoha nižších obratlovců (ryby, obojživelníci i plazi), stejně tak jako některé další behaviorální asymetrie např. v sexuálním chování, v obranných reakcích aj. [1]. Někteří autoři však stále soudí, že separace funkcí hemisfér a jejich lateralizace umožnily progresivní vzrůst ve velikosti mozku, vývoj jazyka a řeči a tím vydělení druhu *Homo sapiens* [10].

2.1.2 Lateralizace lidského mozku

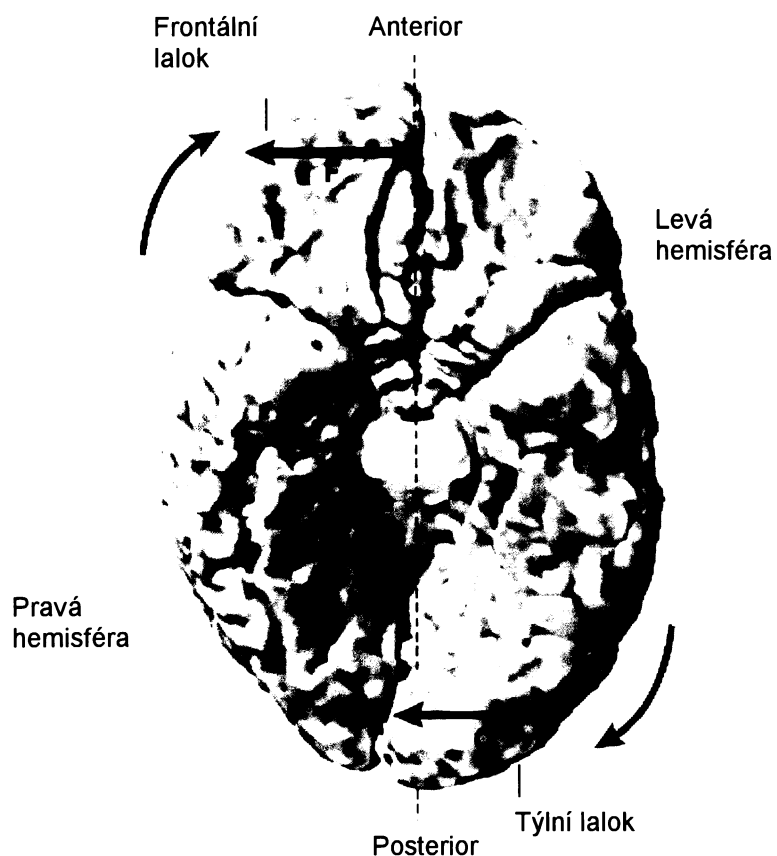
Asymetrie lidského mozku byla pozorována na různých úrovních – volumetrické, morfologické, histologické, cytoarchitektonické, metabolické, kognitivní, behaviorální aj. V poslední době roste zájem zejména o neurochemickou lateralizaci lidského mozku, na jejímž základě se strukturně-funkční asymetrie vytváří a mění. Hemisféry lidského mozku vznikají zhruba v 6 týdnu ve vývoji embrya a ve 30 týdnu už jsou zřetelně viditelné asymetrie *planum temporale* [11]. Rozhodující molekulární děje se tudíž musí odehrát o mnoho týdnů dříve, během korové neurogenese a migrace neuronů do mozkové kůry. Asymetrie genové transkripce v pravé a levé mozkové kůře člověka byla pozorována již ve 12 týdnu embryonálního vývoje [12].

2.1.2.1 Anatomická asymetrie

Anatomické odlišnosti pravé a levé hemisféry koncového mozku člověka zahrnují makroskopické rozdíly v celkovém objemu, gyrafikaci, délce a zakřivení jednotlivých rýh (sulci), stejně jako mikroskopické rozdíly v utváření neuronové sítě a rozložení gliových buněk. Původní pozorování povrchových asymetrií bylo následováno zjištěním rozdílů ve velikosti a počtu jednotlivých gyrů (Heschlův gyrus) a rozměrů oblastí jako *planum temporale*.

Ve druhé polovině 20. století se stala předmětem mnoha úvah hypotéza o spojitosti mezi morfologickými a funkčními mozkovými asymetriemi. S rozvojem zobrazovacích metod využívajících magnetickou rezonanci (MRI) se rozšiřují možnosti získávání anatomických dat a jejich korelování s funkčním měřením lateralizovaných psychologických procesů. Dalším využitím těchto technik byly pozorovány neuroanatomické asymetrie zahrnující asymetrii hipokampu, *sulcus centralis*, mozečku, motorických neuronů v míše aj. [13]

Nejhrubší anatomické asymetrie lidského mozku jsou pozorovatelné pouhým okem (viz obr. č. 3): levá hemisféra má sklon být v posteriorní části širší, zatímco pravá hemisféra je širší v anteriorní oblasti. Tyto asymetrie se otiskují na vnitřní stranu lebky a byly pozorovány i na lebkách fosilních hominidů [14, 15]. Počítačová tomografie (CT) a MRI studie dokládají, že tyto asymetrie jsou nápadnější u praváků. Dalším viditelným znakem porušujícím bilaterální symetrii je tzv. Yakovlevianovo zkroucení (Yakovlevian anticlockwise torque) [15], kdy se zvláště levý týlní lalok stáčí za středovou linii přes pravý týlní lalok a ohýbá předél mezi hemisférami do prava (viz obr. č. 3).



obr. č. 3: Makroskopické anatomické asymetrie lidského mozku (převzato z [25])

Nejdéle popsanou asymetrií je pravo-levá asymetrie v délce a zakřivení *sulcus lateralis*, nejnápadnější rýhy mozkových hemisfér [16, 17]. Pravý *sulcus lateralis* se v posteriorním směru stáčí nahoru dříve než levý, který má zároveň mírnější sklon [18]. V asymetrii *sulcus lateralis* se odráží asymetrie oblastí podílející se na jazykových funkcích v jeho okolí, jejichž jádrem je *planum temporale*. Tato oblast hraje důležitou roli při tvorbě fonémů a vnímání řeči.

Planum temporale vykazuje značnou levostrannou asymetrii ve svém objemu [19], u níž byla opakovaně prokázána korelace se stupněm pravorukosti [20]. U praváků byl nalezen větší stupeň asymetrie, u leváků mírnější, nicméně stále levostranný. Levé *planum temporale* dosahuje až desetkrát většího objemu než jeho protějšek v pravé hemisféře; jedná se zřejmě o nejvýraznější a funkčně nejvýznamnější asymetrii lidského mozku [21].

Další neuroanatomické studie a studie využívající počítačovou tomografii (CT) ukázaly, že u většiny pravorukých jedinců je pravý čelní lalok větší než levý a levý spánkový lalok naopak větší než pravý. Některé MRI studie zaměřené na volumetrii hipokampu dokládají u zdravé populace větší pravý hipokampus oproti levému [22].

2.1.2.2 Funkční asymetrie – řeč a pravorukost

Skutečnost, že mozek není zcela dvoustraně symetrický, na sebe upozornila nejen anatomickými, ale i funkčními projevy. Vědecký zájem o symetrii mozku vyvolala snaha lokalizovat duševní schopnosti do určitých oblastí mozkové kůry, o což se počátkem 19. století pokoušela frenologie. Mozkové hemisféry byly jako párový orgán považovány za rovnocenné ve své struktuře i funkci – dvě části v zásadě shodné v jejich stavbě se nemohou odlišovat svým způsobem činnosti [23]. Tento obecný výrok narážel ale přinejmenším na jednu očividnou výjimku: lidské ruce. Ačkoliv se téměř shodují svou stavbou, jedna ruka má obvykle převahu v síle i dovednosti. Navíc, rozdíl v dovednosti mezi pravou a levou rukou není záležitostí pouze individuální úrovně – naprostá většina populace (více než 90%; liší se podle oblasti) používá jako dominantní horní končetinu pravou ruku.

Dominantní ruka bývá nejčastěji a nejsnadněji rozeznávána podle toho, že je používána ke psaní – což je specifická činnost úzce související se schopností řeči. Řeč a její sídlo v mozkové kůře se staly dalším z témat, která pomohla změnit názor na symetrii mozku. Opakovaná pozorování případů, kdy byla porucha/ztráta řeči (disfázie/afázie)

spojena s poškozením levé hemisféry, přiměla lékaře a antropologa Paula Brocu, aby prohlásil: „Mluvíme levou hemisférou.“ [24]

Zjednodušeně by se dalo předpokládat, že končetinová dominance a řeč se vyvíjely společně s centrem v jedné (levé) hemisféře a udělily jí tak jistou převahu nad hemisférou druhou (pravou). Nicméně řečová a končetinová dominance spolu zcela nekorelují. Přibližně 97% praváků vykazuje lokalizaci centra řeči v levé hemisféře, zbývající 3% v pravé hemisféře nebo bilaterálně. Tento poměr se u leváků posouvá na 70%:30%. Existují tak praváci s pravo-hemisférovou dominancí pro řeč, stejně tak jako leváci s centrem pro řeč v levé hemisféře [25].

Podle teorie Geschwinda, Behana a Galaburdy (GBG Theory; [26, 27]) prodělali normální vývoj pouze praváci s levostrannou asymetrií jazykových oblastí; naproti tomu levorucí jedinci utrpěli poškození, které vedlo k anomální mozkové lateralizaci. Negativní konotace provázejí levorukost jako menšinový jev od nepaměti – do významu slov „levý“ patří charakteristiky jako „nejapný, neohrabaný, nešikovný“ a označení „levák“ se používá jako výraz pro nedůvěryhodnou, podezřelou osobu. K novodobým teoriím diskriminujícím levorukost vedly nálezy vyšší incidence levorukosti nebo obourukosti (tj. ne-pravorukosti) mezi osobami trpícími poruchami učení, dyslexií, zajíkavostí, autoimunními chorobami, Downovým syndromem a některými závažnějšími psychiatrickými poruchami, zejména schizofrenií. Pokud by ale leváci skutečně trpěli sníženou životaschopností [28], jejich podíl v populaci by se měl s časem snižovat, což se patrně neděje – poměr mezi praváky a leváky se zdá být v lidské evoluci konstantní [29].

2.1.2.3 Genetické predispozice, vnější faktory a sexuální dimorfismus

Studie zabývající se incidencí levorukosti a rozdíly v asymetrii mozku mezi příbuznými (zvláště mezi jedno- a dvojvaječnými dvojčaty) podnítily přesvědčení, že typická (pravoruká) končetinová dominance a s ní spojená lateralizace mozku se zakládá na dědičné predispozici, která není přítomná v celé populaci. „Right Shift Theory“ [30] předpokládá existenci jednoho genu (RS+), který určitým způsobem poškozuje pravou hemisféru a tím dává větší šanci ke vzniku řečového centra v levé (nepoškozené) hemisféře. Zároveň s handicapem pravé hemisféry se oslabuje levá končetina, proto je vysoká pravděpodobnost, že dominantní rukou se stane pravá. Gen přítomný v jedné nebo dvou kopiích (genotyp RS+- nebo RS++) tak zajišťuje typický charakter cerebrální

dominance, pokud není vážně narušen vývoj organismu. V případě, že gen není přítomen (genotyp RS--), se mozková a končetinová asymetrie utváří náhodně a nezávisle na sobě (v 50% případů řečové centrum v levé hemisféře, v 50% v pravé) [31]. Vzhledem k tomu, že zhruba 9,25% populace má řečové centrum v pravé hemisféře, dvojnásobek – 18,5% - by měl představovat část populace, která postrádá gen RS+ [32].

Usuzuje se, že tento gen se objevil v rané fázi lidské evoluce jako pomůcka při rozvoji a použití řeči. Význam jazyka a řeči, immanentních existenci lidského vědomí a identity, podněcuje k názoru, že gen pro mozkovou asymetrii dal vzniknout člověku *Homo sapiens* [10]. Bohužel toto vše vysvětlující tvrzení naráží na několik skutečností; mezi jinými na již zmíněnou nepřítomnost genu v téměř jedné pětině populace. Gen s sebou zřejmě přináší rizika, která zabránila jeho univerzálnímu rozšíření. Handicap, prostřednictvím kterého gen působí, je podle předpokladu aditivní, tzn. genotyp RS++ je znevýhodňován zbytečně velkým (zdvojnásobeným) poškozením pravé hemisféry. Zároveň mohl mutací vzniknout gen postrádající směrovou informaci („agnosic right shift gene, RS+a), poškozující tudíž náhodně pravou nebo levou hemisféru. Kombinace RS+ a RS+a, poškozující jednu nebo obě hemisféry zároveň, otvírají prostor úvahám o původu duševních poruch jako schizofrenie nebo autismus [33].

Bez ohledu na genetický podklad, na rozvoji funkční a anatomické asymetrie se zásadním způsobem podílí řada prenatálních (jako např. poloha plodu v děloze, různé chemické gradienty nebo i vyšetření ultrazvukem [34]) a postnatálních (sociokulturní prostředí) faktorů vnějšího prostředí. Infekce, stres nebo jiné poškození může narušit normální vývoj mozku a tím i jeho lateralizaci.

Několik studií poukazuje na sexuální dimorfismus lateralizace lidského mozku ve smyslu, že mužský mozek je v průměru více asymetrický než ženský. Zpracování sluchových a zrakových vjemů je u mužů více lateralizováno než u žen. Tato skutečnost se přisuzuje buď méně ostrému oddělení funkcí hemisfér nebo širšímu propojení ženského mozku. Též byly pozorovány rozdíly ve strukturální asymetrii *planum temporale*, opět s výraznější asymetrií u mužů [25].

Výzkum pohlavních rozdílů v organizaci mozku na hlodavcích přinesl zjištění, že se mozková asymetrie mění v prenatálním i postnatálním období v závislosti na hladině androgenů a estrogenů. Pro člověka byla Geschwindem a Galaburďou [26] navržena teorie, podle které vede zvýšená hladina testosteronu *in utero* k odchylkám od normální cerebrální dominance (pravorukost s levostrannou jazykovou dominancí a pravostrannou zrakově-

prostorovou dominancí). Na základě tohoto modelu lze vysvětlit rozdílnou rychlosť dospívání mezi muži a ženami, převahu mužů ve zrakově-prostorových dovednostech a naopak lepší jazykové a řečové schopnosti žen, stejně jako vyšší výskyt levorukosti u mužů.

2.1.2.4 Úloha hipokampu

Mozkovou asymetrii lze v průběhu života jedince formovat prostřednictvím učení a zkušenosti. Lateralizace korových struktur podléhá změnám vlivem asymetrických smyslových podnětů, asymetrických poškození, ale i vlivem podnětů, které na pohled nenesou žádnou asymetrii.

Ztráta jazykových center při poškození příslušné (levé) hemisféry může být kompenzována přesunutím jazykových funkcí do homologních oblastí nepoškozené hemisféry. Taková reorganizace probíhá běžně v raném dětství, kdy má ještě nevyspělý mozek velkou hustotu synapsí a značnou plasticitu, ale může se objevit i v dospělosti [35]. Při podrobnějším zkoumání bylo nalezeno, že vývojové poškození přímo v místě jazykových center nemusí vést k inter-hemisférové přestavbě [36], ale že se jazykové funkce mohou vyvíjet uvnitř stejné hemisféry v přilehlých oblastech [37]; naproti tomu přesun jazykových center do protější hemisféry byl zaznamenán u pacientů s patologií hipokampu [38]. Jazyková lateralizace se profiluje patrně spíše v závislosti na hipokampální formaci než na samotných jazykových oblastech.

Hipokampus, evolučně stará část obou hemisfér, zastává nenahraditelnou roli při učení a vytváření deklarativní paměti. Integruje smyslové vjemy z různých korových oblastí a prostřednictvím nervových spojů s mozkovou kůrou je schopen široce ovlivňovat synaptickou aktivitu a vznik spojů mezi korovými neurony. Asymetrie v neuronální aktivitě hipokampu tedy může přímo působit na vývoj funkční korové asymetrie. Citlivost hipokampu k prožívání a s tím spojené asymetrické změny dovolují hipokampu měnit svou vlastní symetrii prostřednictvím procesu učení. Hipokampální asymetrie může být následně rozšířena na oblasti odpovědné za vyšší korové funkce. Tyto hypotézy byly navrženy a ověřeny studiemi na hlodavcích [39].

Tzv. hipokampální teorie mozkové lateralizace staví hipokampus do centrální role při vytváření a přeměně asymetrie korových oblastí, odpovědných za vyšší mozkové funkce. Tento proces je založen na synaptické plasticitě hipokampálních neuronů.

Asymetrie hipokampu, podobně jako u ostatních částí mozku, existuje na úrovni neuroanatomické, neurofiziologické i neurochemické; asymetrická distribuce receptorů pro významné neurotransmittery, neuromodulátory a hormony nabízí možný zdroj hipokampální i celkové mozkové asymetrie.

2.1.2.5 Neurochemická lateralizace

Předpoklad, že anatomické a funkční asymetrie odrážejí asymetrie biochemické, se zdá být samozřejmý, ačkoliv přímý vztah zatím nebyl nalezen. Neurochemické látky jsou schopné zesilovat nebo potlačovat neuronální aktivaci v důležitých korových strukturách. Koncentrace prakticky všech typů přenašečů jako jsou biogenní aminy, aminokyseliny nebo neuropeptidy, distribuce jejich receptorů a jejich metabolické dráhy včetně jejich enzymů jsou obecně asymetrické u lidí i zvířat [40].

Pozornost byla nejprve věnována běžným neurotransmitterům. V roce 1978 Oke et al. [41] popsali asymetrické hladiny norepinefrinu v lidském thalamu – v některých oblastech byla nalezena vyšší koncentrace vlevo, u jiných vpravo. Glick et al. [42] v roce 1982 publikovali své výsledky *post mortem* analýzy lidského mozku, kde ukázaly významně vyšší hodnoty cholin acetyltransferázy a dopaminu v *globus pallidus*. Podle Amaducci et al. [43] převažuje cholin acetyltransferáza také v levém spánkovém laloku lidského mozku.

Interpretace asymetrie cholinergního, dopaminergního a noradrenergního neurotransmitterového systému u člověka jsou stále sporné, většina výzkumu v této oblasti je možná pouze na zvířecích modelech, které ne vždy odpovídají situaci u člověka a při zobecňování je třeba obezřetnosti. Aktivnější dopaminergní systém v levé hemisféře ji podle některých úvah (založených na studiích množství dopaminu ve striatu ve vztahu ke směru otáčení u potkanů) předurčuje k lepšímu výkonu motorických funkcí (vedoucí k pravorukosti) a řeči; naproti tomu noradrenergní systém převládající v pravé hemisféře by mohl zajišťovat bdělost, směřovat jedince k novým podnětům a sjednocovat vnímání [25].

Ve snaze najít souvislost mezi neurochemickou asymetrií a jazykovou lateralizací byly též srovnávány hladiny několika aminokyselin a oligopeptidů v jazykových oblastech lidského mozku *post mortem*, avšak nebyly nalezeny významné rozdíly. U potkanů byla

pozorována levostranná dominance vazebných míst pro γ -aminomáselnou kyselinu (GABA). Také byly zaznamenány asymetrie v podjednotkovém složení NMDA receptoru v myším hipokampu [44].

Dále byly popsány asymetrie různých bioaktivních peptidů. Významně vyšší obsah gonadotropin-uvolňujícího hormonu (GnRH) byl sledován v pravé polovině hypothalamu u potkana, thyrotropin-uvolňující hormon (TRH) byl v lidském hypothalamu nalezen ve větším množství nalevo, předpokládá se asymetrie opioidů, angiotensinu II a cholecytokininu. Také v neuroendokrinním řízení pohlavních žláz amygdalou u potkana byla nalezena nerovnocennost pravé a levé strany. Asymetrie neuroendokrinního systému zřejmě existuje na každé z jeho organizačních úrovní: v mozkových oblastech, inervaci i párových endokrinních žlázách. V této asymetrii lze podle některých dat usuzovat na dominanci pravé hemisféry [44].

Protože pro neuropeptidy nebyly zjištěny žádné re-uptake mechanismy (naroddí od klasických neurotransmitterů), hlavní roli v regulaci jejich funkce hrají aminopeptidázy, které je inaktivují. I na úrovni těchto enzymů, již byly zaznamenány asymetrie mezi určitými oblastmi potkaního mozku. Ovšem tyto asymetrie se zdají být velmi proměnlivé, jak v lokalizaci jejich výskytu, tak i v době jejich trvání. V závislosti na měřené aktivitě a vybrané oblasti byly nalezeny značně heterogenní výsledky, zatímco při porovnávání neuropeptidázových aktivit mezi hemisférami jako celky není patrný žádný rozdíl. V sítnici a hypothalamu potkanů byl prokázán vliv vnějších faktorů jako je střídání světla a tmy na neurochemické změny měřené aktivitou neuropeptidáz [45]. Při posuzování úlohy neurotransmitterů a neuromodulátorů pro mozkovou asymetrii je tedy nutné brát v úvahu značnou časovou a místní proměnlivost způsobenou enzymy, které ovlivňují jejich biologickou dostupnost.

2.1.3 Patologické změny mozkové lateralizace

Lateralizace je dynamickým jevem, ve kterém sehrávají svou modulační roli vnější i vrozené faktory. Podléhá cyklickým změnám v ultradiánních i cirkadiánních rytmech, projevuje fyziologické sezónní odchylky. Vývoj a stárnutí mění mozkovou asymetrii a nerovnováha v určitých asymetrických charakterizuje některé poruchy jako schizofrenie,

deprese, autismus nebo Alzheimerova choroba. Zůstává však nejasné, zda jsou tyto změny příčinou nebo následkem chorobných stavů [44].

Snížená asymetrie v objemu *planum temporale* byla nalezena u jedinců majících potíže se čtením nebo vývojovou dyslexii a u lidí s pravo-hemisférovou dominancí pro řeč. U dyslektyků byla popsána též převrácená asymetrie *planum temporale* (tj. větší pravé *planum temporale*). Podobně, fMRI studie odhalily u jedinců trpících zajíkovostí schéma mozkové aktivace jazykových oblastí posunuté doprava [25].

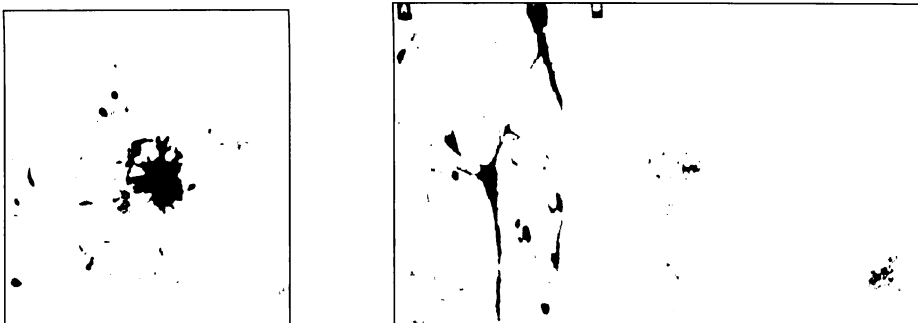
Změny v asymetrii, které provázejí různé patologie, mohou mít původ již v odlišném genotypu, odrážejícím dědičné predispozice daného onemocnění. Neobvyklou asymetrii může navodit patogenní zásah do vývoje mozku. Samotný průběh onemocnění může interagovat s existující asymetrií. Některé choroby (např. demence) postupují asymetricky, tj. s různou rychlostí patologického procesu v každé hemisféře.

2.1.3.1 Alzheimerova choroba

Alzheimerova choroba (Alzheimer disease, AD) je příčinou nejběžnějšího typu demence, kde je zhoršování kognitivních funkcí doprovázeno úbytkem neuronů ve vybraných oblastech mozku. Postihuje zejména nejstarší populaci – trpí jí kolem 5% lidí starších 65, mezi 65 a 85 lety se incidence onemocnění každých 5 let zdvojnásobuje, ve skupině nad 85 let už je téměř polovina nemocných [46]. Choroba je závažná jak po stránce jejího průběhu a úmrtnosti, tak pro její následky pro rodinu a okolí pacienta, zatížení zdravotnických institucí i ekonomickou náročnost. Počet nemocných, který byl v době jejího popsání (Alois Alzheimer, 1907) zcela minimální, rychle narůstá, zřejmě v souvislosti se stále se prodlužující střední délkom života ve vyspělých společnostech.

Základními znaky charakterizujícími histopatologické změny v mozku pacientů jsou extracelulární nerozpustné agregáty amyloidu - tzv. senilní plaky (senile plaques; viz obr. č. 4, str. 20) – a intracelulární smotky neurofibril (neurofibrillary tangles, viz obr. č. 4, str. 20). Oba se účastní neurodegenerativního procesu vedoucímu k postupnému odumírání nervových buněk. Senilní plaky vznikají ukládáním vláken peptidu β -amyloidu ($A\beta$), který je produktem proteolytického štěpení amyloidového prekurzorového proteinu (APP). Bývají zvláště hojně v hipokampusu a přilehlé kůře. Hlavní složkou smotků neurofibril jsou

tzv. párová helikální filamenta (PHF) obsahující především nadměrně fosforylovaný τ -protein [47].



obr. č. 4: Vlevo - senilní plaky obarvené při histologické analýze;
vpravo – smotky neurofibril (převzato ze [47])

Výzkumné práce z poslední doby naznačují, že senilní plaky i smotky neurofibril jsou pravděpodobně pouze následek, nikoliv příčina AD. Zdá se, že klíčovou roli v rozvoji nemoci hraje spíše toxický rozpustný oligomerní A β , který se akumuluje extracelulárně i intracelulárně [48].

Úbytek šedé kůry mozkové zasahuje v průběhu onemocnění nejprve entorhinální a temporopareitální kůru, pokračuje do frontální a nakonec až do senzormotorické oblasti. Toto pořadí je zachováno v obou hemisférách, ale rychlosť progrese je asymetrická. Oblasti levé hemisféry jsou postiženy dříve a silněji. Pravá hemisféra následuje levou zhruba se dvouletým zpožděním [49]. Studie pozitronové emisní tomografie (PET) zároveň ukazují poruchy metabolismu v levé hemisféře větší než v pravé [50]. Tyto asymetrie ukazují, že levá hemisféra může být více citlivá k neurodegeneraci během AD než pravá, nebo že patologický proces v levé hemisféře má za následek větší strukturální změny a větší metabolický deficit.

Dále bylo zjištěno, že pacienti s AD mají oproti kontrolám sníženou až převrácenou asymetrii hipokampu, v závislosti na počtu nesených kopií alely $\epsilon 4$ apolipoproteinu E (ApoE $\epsilon 4$). ApoE $\epsilon 4$ představuje vedle věku nejvýznamější dosud známý rizikový faktor sporadické formy AD. Zdá se, že působí na tvorbu A β , zároveň byla prokázána korelace mezi ApoE $\epsilon 4$ a deficitem v cholinergním systému, který je u AD nejvýraznější nalezenou abnormalitou neurotransmitterových systémů. U pacientů s AD nesoucích žádnou nebo

jednu kopii ApoE ε4 byl vůči kontrolám (pravý hipokampus větší než levý) zaznamenán snižující se pravo-levý rozdíl ve velikosti hipokampu a u pacientů se dvěma kopiemi ApoE ε4 byl nalezen naopak levý hipokampus větší než pravý [51].

2.1.3.2 Schizofrenie

Schizofrenie je specificky lidské onemocnění dosud neznámé etiologie projevující se poruchami myšlení, jednání, vnímání, emocí a vůle. Pravděpodobnost vzniku onemocnění, zhruba stejná na celém světě, se pohybuje kolem 1% [52]. Nástup onemocnění bývá mezi 16. a 25. rokem věku, u mužů v průměru dříve než u žen, ovšem může se rozvinout kdykoliv. Příznaky schizofrenního onemocnění lze rozdělit na pozitivní (halucinace, bludy, bizarní chování) a negativní (nedostatky v řeči, afektivní oploštěnost, anhedonie). Na vzniku schizofrenie se podílí mnohačetné patologické vlivy, zčásti závisí na genetických predispozicích; neurovývojový model předpokládá vznik poškození v časném vývoji mozku, které umožní pozdější spuštění psychózy.

V mozku značné části schizofreniků byly prokázány strukturní změny jako rozšířené mozkové komory nebo zmenšený hipokampus [53]. Zjištění zvláštního charakteru publikoval Crow [54]: mozek schizofreniků nese sníženou nebo zcela postrádá typickou asymetrii, přítomnou u většiny populace. Další studie dokládají snížení asymetrie *planum temporale* a *sulcus lateralis*, někdy též převrácený směr stáčení frontálních a týlních laloků [55].

Sníženou anatomickou asymetrii doprovází snížená funkční asymetrie, odrážející se ve snížené lateralizaci jazykových center a ve vyšším výskytu ne-pravorukosti mezi pacienty (některé studie udávají též zvýšenou ne-pravorukost mezi zdravými příbuznými pacientů) [55]. Tyto nálezy nasvědčují, že rozvoj schizofrenie souvisí se ztrátou cerebrální lateralizace. Podle „Right Shift Theory“ jde o poškození RS+ genu, který jinak zajišťuje vývin typické mozkové asymetrie (viz předcházející) [56].

Byly již také popsány odchylinky od neurochemické asymetrie u schizofrenních pacientů. Zahrnují změny v serotoninových receptorech v levém spánkovém laloku [57] a specifické zvýšení dopaminu v levé amygdale [58] korelující se sníženým GABA uptake v levém hipokampusu [59].

2.2. Oxid dusnatý v mozku

Oxid dusnatý (NO), dříve známý především jako látka znečišťující životní prostředí, dnes představuje molekulu se širokým biochemickým působením. V lidském organismu je prakticky všudypřítomný, podílí se na řadě fyziologických dějů jako vazodilatace, krevní srážení, imunitní reakce nebo motilita střev. Zdá se, že významně reguluje základní buněčné děje jako je genová exprese nebo funkce mitochondrií [60]. V CNS jeho fyziologické účinky zahrnují modulaci neurotransmise a synaptické plasticity, v závislosti na podmínkách (množství a zdroj NO, jeho chemická forma a metabolický stav buňky) však může působit i neurotoxicky. Svou schopností navodit apoptózu nebo nekrózu buněk se podílí na mechanismech vedoucích k neurodegenerativním i neurovývojovým onemocněním [61].

2.2.1. Syntázy oxidu dusnatého

NO je v organismu produkován skupinou izoenzymů – syntázami oxidu dusnatého (nitric oxide synthases, NOS, EC 1.14.13.39). Všechny spolu sdílejí mezi 50 a 60% sekvenční homologie [62]. Dvě z nich – neuronální NOS (nNOS, NOS I) a endotelová NOS (eNOS, NOS III) – jsou na Ca^{2+} /kalmodulinu závislé enzymy konstitutivně exprimované v savčích buňkách [63] a jsou schopny tvořit NO po dobu několika minut. Naproti tomu třetí izoenzym, indukovatelná NOS (iNOS, NOS II), je na Ca^{2+} /kalmodulinu nezávislá a její regulace spočívá v syntéze *de novo*. Expresi iNOS vyvolává v makrofázích, astrocytech, mikroglii a dalších buňkách imunitní nebo zánětlivá reakce. Produkce značného množství NO trvá několik hodin až dní [64].

Všechny izofory NOS mají čtyři prostetické skupiny: flavin adenin dinukleotid (FAD), flavin adenin mononukleotid (FMN), hem a tetrahydrobiopterin (BH4). FAD, FMN a hem se účastní reduktivních reakcí vedoucích k syntéze NO. Hem a BH4 spolu tvářejí vazebnou dutinu pro substrát. Z tohoto důvodu je BH4 naprostě nezbytný pro aktivitu NOS. Ke své funkci NOS potřebuje navíc NADPH jako kofaktor [65].

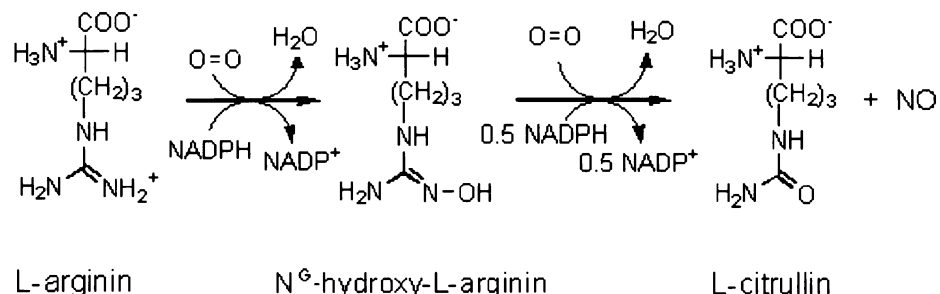
Ve struktuře NOS lze rozpoznat dvě domény, pracující nezávisle na sobě. C-terminální doména s reduktázovou aktivitou obsahuje vazebná místa pro NADPH, FAD, FMN a Ca^{2+} /kalmodulin. Navázání Ca^{2+} /kalmodulinu umožňuje vstup elektronů do

aktivního centra NOS a tím spouští její aktivitu. N-terminální doména má oxygenázovou aktivitu a obsahuje vazebná místa pro BH4, hem a substrát (L-arginin) [66]. Každá z domén je navíc homodimerická (viz obr. č. 5).



obr. č. 5: Dimer N-terminální domény NOS (NOSox) (převzato z [131])

Tvorba NO se děje přeměnou L-argininu na citrulin za spotřeby O_2 a vyžaduje NADPH jako kofaktor (viz obr. č. 6).



obr. č. 6: Biosyntéza NO (převzato z [132])

Lidská eNOS je 135 kDa protein o 1294 aminokyselinových zbytcích [67]. Exprimována je především v endotelových buňkách, ale nalezena byla též v neuronech, astrocytech, T-buňkách aj. Její aktivace vyžaduje fosforylace fosfatidyl-inositol-3-kinázou (PI3K) a navázání Ca^{2+} /kalmodulinu, které navodí allosterické změny. Fyziologické podněty jako stres nebo působení 17β -estradiolu vyvolají fosforylace enzymu, což usnadní navázání kalmodulinu a aktivita enzymu tak vzroste na trojnásobek. Stres zvyšuje též expresi eNOS, zatímco některé molekuly jako např. TNF α jí snižují [68].

Indukovatelná forma NOS – iNOS (130 kDa) - je tvořena buňkami imunitního systému [69] a gliovými buňkami. Není závislá na koncentraci Ca^{2+} a není regulovatelná fosforylací. Regulace probíhá na úrovni transkripce, kterou spouští signály zánětlivé reakce jako interferon regulatory factor-1 (IRF-1) nebo jaderný faktor $\kappa\beta$ (NF- $\kappa\beta$) [70]. Doba produkce NO se pohybuje mezi 10 hodinami a několika dny. V případě, že tvorbu NO brzdí nedostatek substrátu nebo BH4, produkuje enzym namísto NO superoxidový aniont O_2^- [71].

V neuronech je exprimována nNOS, jejíž aktivita, stejně jako u eNOS, závisí na vazbě s Ca^{2+} /kalmodulinem a je regulována fosforylací. Byly zaznamenány čtyři formy nNOS vznikající alternativním sestříhem mRNA [72]: nNOS γ (125 kDa) a nNOS β (136 kDa), které jsou cytoplasmatické, a nNOS α (160 kDa) s nNOS μ (165 kDa), které jsou kotveny prostřednictvím PDZ domén k subcelulárním strukturám. Protein-proteinová interakce mezi PDZ doménami nNOS a proteinu PSD-95, který se váže ke glutamátovým receptorům N-methyl-D-aspartátového typu (NMDA receptor), vysvětluje funkční spojení nNOS s tokem Ca^{2+} iontů přes NMDA receptor (viz obr. č. 7, str. 27) [73]. Expresi nNOS ovlivňují kromě řady transkripčních faktorů též pohlavní hormony jako 17β -estradiol, který ji zvyšuje [71].

2.2.2 Chemické přeměny NO v organismu

NO může existovat ve třech redoxních stavech: elektricky neutrální NO^{\cdot} s jedním nepárovým elektronem, nitrosoniový kation NO^+ a nitrosylový anion NO^- . V biologických tekutinách se NO^{\cdot} přeměňuje sérií reakcí na dusitany NO_2^- , dusičnan NO_3^- a peroxynitrit ONOO^- . Peroxynitritový anion ONOO^- , vznikající reakcí NO^{\cdot} se superoxidovým aniontem

O_2^- , je velmi toxický volný radikál, který reaguje s přechodnými kovy metalloproteinů a Fe-S centry řady enzymů [61].

Reakce NO^\cdot s O_2^- je rychlá natolik, že jí nemohou buněčné antioxidanty zabránit. Afinita O_2^- k NO^\cdot je vyšší než k superoxid dismutáze (SOD) [74]. Limitujícími faktory této reakce je množství NO^\cdot a jeho difúzní koeficient, vzhledem k velmi krátkému poločasu života NO^\cdot (3-5 s). Vznikající $ONOO^\cdot$ s poločasem života 1-2 s je ještě reaktvinější. Bud' je degradován na další toxické produkty nebo přeměněn reakcí s oxidem uhličitým CO_2 na nitrosoperoxykarbonát $ONOOCO_2^-$.

NO vyvolává funkční změny proteinů jejich nitrací nebo nitrosylací. V přítomnosti superoxid dismutázy (SOD) a přechodných kovů může NO nitrovat tyrosin za vzniku 3-nitrotyrosinu. K nitrosylaci proteinů dochází zejména na thiolové skupině cysteinu (S-nitroso deriváty).

Hlavní fyziologický způsob likvidace NO je jeho vazba s hemem. NO snadno difunduje přes membránu do lumen červených krvinek, kde reaguje s hemoglobinem za vzniku nitrátu NO_3^- a methemoglobinu. Váže se též na glutathion (GSH), se kterým tvoří S-nitroso-L-glutathion (GSNO) [61].

2.2.3 Molekulární účinky NO v buňce

Aktivace guanylát cyklázy (GC), po které následuje tvorba cyklického guanosin-3', 5'-monofosfátu (cGMP) spouštějící fosforylační kaskády, je hlavní signální dráhou NO [75]. Nicméně NO může mít i jiné, na GC nezávislé účinky.

NO reaguje s hemovou skupinou GC a následující konformační změny umožňují enzymu katalyzovat přeměnu guanosin-5'-trifosfátu (GTP) na cGMP. cGMP působí jako druhý posel aktivující protein kinázy, které regulují hladinu intracelulárního Ca^{2+} a jiných iontů, a některé další enzymy [61].

Nitrace tyrosinu mění normální aktivitu proteinů navozením konformačních změn či znemožněním jejich fosforylace. S-nitrosylace obvykle snižuje aktivitu cílových proteinů, mezi které patří řada enzymů (např. gylceraldehyd-3-fosfát dehydrogenáza), G-proteiny a kinázy. Neuroprotektivní účinky, které se NO přisuzují, mohou být způsobeny snížením aktivity NMDA receptoru jeho S-nitrosylací [76]. S-nitrosylace se podílí také na

autoregulaci tvorby NO: inhibuje NF-κβ, transkripční faktor pro iNOS, a zabraňuje dimerizaci eNOS, čímž snižuje její aktivitu [61].

Kvalita působení NO závisí na typu buňky, koncentraci NO, stavu buněčných antioxidantů a dalších faktorech. Dvojí úloha NO se týká zejména jeho interakce s dýchacím řetězcem v mitochondriích. Za fyziologických podmínek reverzibilně inhibuje cytochrom c oxidázu (komplex IV) a může tak regulovat spotřebu O₂. Při dlouhodobém působení však NO, zejména po reakci s O₂⁻ jako ONOO⁻, nevratně poškozuje komplex I, II, IV a V dýchacího řetězce, napadá mitochondriální DNA, mění vlastnosti mitochondriální membrány (zvyšuje její průchodnost), způsobuje únik Ca²⁺ a cytochromu c z mitochondrie [77]. V závislosti na míře narušení energetického metabolismu následuje apoptotická nebo nekrotická lyze buňky.

Byly zaznamenány jak pro-apoptotické [78], tak anti-apoptotické účinky NO v buňce. Interakce s kaspázovými kaskádami může být na jednu stranu protektivní, na druhou stranu může vést k buněčné smrti [79].

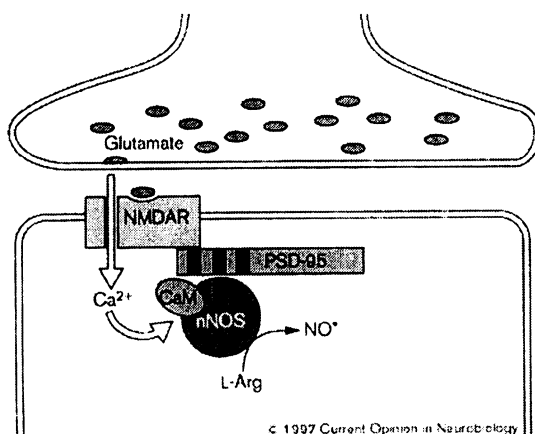
2.2.4 Fyziologická role NO

Prakticky všechny buňky CNS jsou (přinejmenším *in vitro*) schopné tvořit NO, nicméně jeho zdroj a množství souvisí do značné míry na funkci, ke které je určen. Produkce NO prostřednictvím eNOS je namířena k působení v cévním systému. Endotelové buňky uvolňováním NO kontrolují vazodilataci; NO působí na buňky hladké svaloviny v cévním endotelu prostřednictvím aktivace GC a následně změnou činnosti iontových kanálů.

Narozdíl od konstitutivních enzymů (eNOS a nNOS), které jsou řízeny přechodnými změnami v koncentraci Ca²⁺ v cytosolu, iNOS je exprimována gliovými buňkami a buňkami imunitního systému (makrofágy) v odpovědi na zánětlivý proces nebo imunitní reakci a její tvorba NO má větší intenzitu i delší trvání. V takovém případě působí NO sám o sobě toxicky a ONOO⁻ vznikající v oxidujícím prostředí účinně likviduje infekční zárodky a nádorové buňky [61].

Funkce NO jako neurotransmittéra a neuromodulátoru, charakteristická pro jeho výskyt v CNS, je spojená s nNOS jako jeho zdrojem. Funkce, na kterých se NO v mozku podílí, zahrnují paměť, synaptickou plasticitu a dlouhodobou potenciaci v hipokampu [80].

Na rozdíl od klasických neurotransmitterů, NO není uvolňován jen z nervových zakončení a není v buňkách uchováván. Aktivitu nNOS spouští navázání glutamátu na NMDA receptor, který se tak zprůchodňuje pro Ca^{2+} (viz obr. č. 7, str. 27).



obr. č. 7 Funkční spřažení nNOS a NMDA receptoru (převzato z [73])

Vrchol aktivity nNOS nastává po 5-15 min a navrací se na výchozí úroveň zhruba po 1 hodině, nejspíše vlivem vyčerpání substrátu. Pozorován byl též opačný efekt, tedy zvýšené uvolňování glutamátu působením NO. Tento retrográdní mechanismus hraje důležitou roli při vytváření paměťové stopy. Dlouhodobá potenciace (long term potentiation, LTP) byla navržen jako hlavní způsob uchovávání informace a je založena na nepřetržité synaptické aktivaci v určitých oblastech hipokampu. Aby mohla být zajištěna postsynaptická aktivace, musí existovat zpětná vazba s presynaptickou částí. Předpokládá se, že NO plní tuto úlohu uvolňováním glutamátu způsobem závislým na cGMP [81]. Efekt NO na hladinu glutamátu je bifázický: při nízkých koncentracích NO se uvolňování glutamátu snižuje bez ohledu na koncentraci cGMP, zatímco vzrůst koncentrace NO a tím i cGMP má opačný důsledek [82].

NO ovlivňuje uvolňování jiných neurotransmitterů a moduluje jejich činnost. Existují údaje o efektu NO na acetylcholin, noradrenalin, dopamin, glutamát, γ -aminomáselnou kyselinu (GABA), serotonin aj. Mechanismus těchto interakcí dosud není objasněn, zřejmě zahrnuje přímou S-nitrosylaci receptorů, aktivaci cGMP-dependentní fosforylace a modulační působení na monoaminergní transportéry [80].

Aktivita nNOS je regulována tokem Ca^{2+} přes NMDA receptory, které se přímo podílejí na glutamátergní transmisi. Glutamat se podílí především na synaptických interakcích, ovšem díky NO může být signál šířen na okolní monoaminergní neurony nesynaptickým přenosem [83]

2.2.5 NO v patologických stavech

Pokud je NO produkován v nadměrném množství, stává se neurotoxickým. Bylo pozorováno, že k nadprodukci dochází při nepřetržité stimulaci aminokyselinových receptorů, která aktivuje nNOS, nebo při indukci iNOS různými faktory, např. endotoxiny nebo cytokiny. Cytotoxicitu NO in vivo lze zřejmě přičítat především produktu jeho reakce s O_2^- , ONOO^- , který je daleko silnějším oxidačním činidlem. ONOO^- reaguje s většinou sloučenin v buňce, zejména s thioly, thiol ethery, Fe-S centry a zinkovými prsty, spouští peroxidaci lipidů. Váže se na volný i v proteinech vázaný tyrosin za vzniku nitrotyrosinu, který může být použit jako indikátor tvorby peroxynitritu.

Známý je zejména podíl NO na neurodegenerativních onemocněních. Tato onemocnění (např. mozková ischemie, Parkinsonova nemoc, Alzheimerova nemoc nebo multi-infarktová demence) jsou charakterizována pomalým a postupným odumíráním určitých populací neuronů [61]. Nověji roste význam mediátorového systému NO v patofyziologii psychiatrických poruch jako deprese, bipolární afektivní porucha, autismus nebo schizofrenie [84].

2.2.5.1 Molekulární základy AD a působení NO

Současně studie naznačují, že primárním patologickým jevem v degenerativních onemocněních jsou rozpustné amyloidní oligomery, které mají schopnost zvyšovat propustnost membrán a inhibovat mitochondriální enzymy dýchacího řetězce [48]. Rozpustné A β peptidy představují z převážné části stabilní dimery s hydrofobními oblastmi oddělenými od vodného prostředí, schopné další agregace [85].

Jasný vztah mezi patogenezí AD a agregací amyloidu lze sledovat u časných forem AD, rozvíjejících se u pacientů s mutacemi v genech pro APP nebo preseniliny (PS; vytvářejí katalytickou podjednotku γ -sekretázového komplexu, viz dále). APP je

transmembránový glykoprotein, exprimovaný řadou buněk, jehož funkce zůstává zatím nejasná; snad se účastní axonálního transportu. Po sobě jdoucí štěpení APP dvěma proteolytickými enzymy, β -sekretázou a γ -sekretázou, vznikají různě dlouhé oligopeptidy A β , zejména A β (1-40) a A β (1-42). A β (1-42) má znatelně vyšší schopnost agregovat a je zjevně zapojen do rozvoje AD [86].

Byl prokázán vztah mezi amyloidem a signalizační kaskádou, která vyvolává hyperfosforylací τ -proteinu. τ -protein je multifukční protein z rodiny proteinů asociovaných s mikrotubuly (microtubules associated proteins, MAP), jež se účastní polymerace mikrotubulů, jejich stabilizace a vazby mikrotubulů s dalšími složkami cytoskeletu. Narušení regulace kináz odpovědných za fosforylací τ -proteinu je klíčové pro molekulární mechanismus degenerace neurofibril; vede ke zhroucení rovnováhy mezi fosforylací a defosforylací τ -proteinu, umožňujících jeho fyziologickou funkci. Výsledkem je hyperfosforylovaný τ -protein neschopný vazby s mikrotubuly.

Intracelulární a extracelulární akumulace rozpustných oligomerních peptidů A β a následné extracelulární hromadění nerazpustných agregovaných amyloidních plaků přináší řadu škodlivých důsledků. A β se podílí na vzniku tzv. oxidačního stresu, charakterizovaného nadměrnou produkcí volných kyslíkových a dusíkových radikálů jako je superoxid, peroxid vodíku, oxid dusnatý a peroxynitrit. Po vyčerpání vnitrobuněčných antioxidantů napadají tyto radikály buněčné struktury; v mozku pacientů AD byly nalezeny produkty zvýšené oxidace lipidů, proteinů a DNA [61].

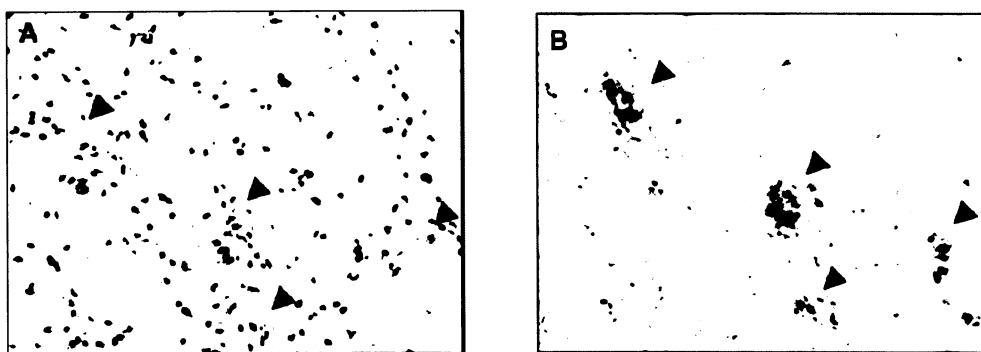
Kromě přímých dopadů oxidačního stresu na buňku dochází k poškození mitochondrií, které se navíc - vzhledem k nedostatku antioxidantů - stávají dalším zdrojem volných radikálů. Mění se propustnost mitochondriální membrány, ústíci ve zhroucení membránového potenciálu a uvolnění proteinů zahajujících aktivaci kaspáz (cytochrom c aj.). Dysfunkce mitochondrií, která buď přímo (vnitřní signální cesta apoptózy), či nepřímo (nedostatek energie k udržení iontové rovnováhy v buňce) vyvolává buněčnou smrt, hráje ústřední roli v patogenezi AD [77].

Nekrotické změny provázející patogenezi AD vyvolávají zánětlivou reakci. V okolí senilních plaků se hromadí reaktivní astrocyty, také stoupá množství aktivované mikroglie, produkující složky komplementové kaskády. Mikroglie a astrocyty uvolňují též řadu cytokinů a chemokinů, např. IL1b, IL6, TNF α , známých pro jejich úlohu v imunitních a zánětlivých reakcích.

U Alzheimerovy choroby, stejně jako u jiných neurodegenerativních změn, se nadměrně uvolňují excitační aminokyseliny. Vedle toho, A β zvyšuje citlivost neuronů k excitotoxicitě. Ionotropní glutamátové receptory jsou A β stimulovány k větší činnosti. Nadměrná glutamátergní aktivace NMDA a AMPA receptorů vede ke zvýšenému toku Ca $^{2+}$ do nervových buňek a spouští řadu neurotoxických procesů, zvyšuje oxidační stres a může aktivovat apoptotické dráhy [82].

Je zřejmé, že NO může do patogeneze AD zasahovat mnoha způsoby. Primárním neurotoxickým mechanismem jsou pravděpodobně jeho oxidační vlastnosti, které závisí na množství produkovaného NO. Čím větší množství NO, tím větší je jeho přeměna na ještě reaktivnější radikály, zejména ONOO $^-$. Působení NO a jeho metabolitů se podílí na zvyšování oxidačního stresu a naopak, patologické podmínky zahrnující oxidační stres usnadňují tvorbu ONOO $^-$ a výrazně zesilují škodlivost NO.

Uvádí se, že chronické působení A β vyvolává tvorbu ONOO $^-$ a následnou nitraci tyrosinu (viz obr. č. 8). Bylo prokázáno, že určitých oblastech mozku mají pacienti s AD větší množství nitrotyrosinu než kontroly, zvláště v hipokampu a v mozkové kůře. Nitrace tyrosinu různých proteinů, jejichž funkce je ve výsledku narušena, může souviset s cholinergním deficitem u AD. Mezi proteiny postižené nitrací tyrosinu patří jednak synaptofyzin a dále enzymy metabolismu glukózy, jehož porucha může mít za následek nedostatek acetyl-CoA pro acetylace cholinu [87].



obr. č. 8: Kolokalizace depozit amyloidu a nitrotyrosinu ve frontálním kortextu pacienta s AD:
vlevo - amyloidní depozitaobarvená Congo červeně,
vpravo – imunochemicky detekovaný nitrotyrosin (převzato z [61])

U AD byla prokázána abnormální exprese nNOS v pyramidálních neuronech obsahující smotky neurofibril [88], zároveň s expresí nNOS v těchto buňkách nalezena vyšší hladina nitrotyrosinu [89]. V astrocytech v okolí senilních plaků byla zaznamenána exprese iNOS [90], u AD byla též nalezena exprese iNOS v neuronech [91]. Byla popsána i zvýšená exprese eNOS v astrocytech v přítomnosti senilních plaků. Naopak v endotelových buňkách exprese eNOS v přítomnosti depozit A β klesá [92]. Tyto výsledky svědčí o tom, že všechny tři izoformy NOS se mohou podílet na zvýšené produkci NO. Hladina dusitanů a dusitanů v mozkové kůře pacientů s AD byla nalezena snížená [93], v mozkomíšním moku bylo nalezeno výrazné zvýšení [94], v plazmě naopak výrazné snížení [95].

Aktivované astrocyty a mikroglie, stimulované A β , produkují značné množství NO. Cytokiny a chemokiny přítomné v zánětlivé reakci indukují expresi iNOS v gliových buňkách. NO z aktivovaných gliových buněk může zvyšovat excitotoxiccké působení glutamátu na neurony tím, že přímo vyvolává uvolňování glutamátu z astrocytů a neuronů a že inhibicí dýchacího řetězce a následnou depolarizací neuronu zesiluje aktivaci NMDA receptoru [79].

Narušená homeostáza Ca $^{2+}$ je dalším pojítkem mezi NO a AD. Kromě vlivu excitotoxicity na vtok Ca $^{2+}$ do buněk bylo též pozorováno, že působení A β na neurony v kultuře vyvolává pomalé zvyšování intracelulární koncentrace Ca $^{2+}$. Jedním z výsledků zvýšené hladiny intracelulárního Ca $^{2+}$ je zvýšená aktivita konstitutivních NOS. Navíc, nNOS je známá svým funkčním spojením s NMDA receptory, které se za zvýšené glutamátergní stimulace a při částečné depolarizaci membrány (může mít svůj původ např. v dysfunkci mitochondrií) otvírají toku Ca $^{2+}$. I když nedojde k výraznému zvýšení Ca $^{2+}$ v celém neuronu, nNOS může díky své lokalizaci za těchto podmínek produkovat vysoké množství NO [82].

Ačkoliv oxidačním poškozením a zánětlivými procesy dochází především k nekrotickému odumírání neuronů, může se v patologii AD uplatňovat i apoptotická smrt buněk. Byly zaznamenány anti-apoptotické účinky nízkých koncentrací NO a naopak pro-apoptotické účinky vysokých koncentrací. NO zastává významnou roli při poškození mitochondrií způsobené intracelulárním A β , vedoucímu k apoptóze buňky [96].

I když se NO účastní různých neurodegenerativních procesů, pravděpodobně může účinkovat i neuroprotektivně. Např. při mozkové ischemii působí nNOS neurotoxicky,

kdežto eNOS přispívá k neuroprotekci. Podobně může být NO tvořený eNOS neuroprotektivní i v případě multi-infarktové demence nebo AD [82].

2.2.5.2 Schizofrenie a působení NO

Dosud není jasné, jaké molekulární mechanismy vedou ke vzniku většiny duševních poruch včetně schizofrenie. Dosavadní výzkum svědčí o tom, že duševní poruchy jsou spojeny s abnormalitami v neurotransmitterových systémech. U schizofrenie byla nejvíce rozvíjena tzv. dopaminová hypotéza.

Bylo pozorováno, že psychózu lze aktivovat psychostimulancii, která jsou agonisty dopaminu; zároveň také, že neuroleptika (antipsychotika 1. generace) působí na dopaminergní systém (blokáda dopaminových receptorů, zvyšování obratu dopaminu). Klasická dopaminová hypotéza schizofrenie předpokládá hyperaktivitu dopaminergního systému v důsledku zvýšení citlivosti a počtu dopaminových D2 receptorů.

Další poznatky přinesly zjištění, že se na patofyziologii psychózy účastní glutamátergní systém. Jelikož se antagonisty NMDA receptoru podařilo vyvolat psychotický stav velmi podobný schizofrenii, předpokládá se hypofunkce glutamátergní transmise přes NMDA receptory. Deficit v glutamátergním přenosu může vést k poruchám dopaminergního systému typickým pro psychózu, stejně tak narušená regulace dopaminergního systému může zeslabovat NMDA-zprostředkovanou konektivitu a plasticitu [97].

Četné záznamy dokládají u schizofrenie dysfunkci mitochondrií, zahrnující mitochondriální hypoplázii a poruchu oxidativní fosforylace, vedoucí ke změnám v produkci ATP a v cytoplasmatické koncentraci Ca^{2+} . Zároveň dochází k tvorbě reaktivních kyslíkových a dusíkových radikálů, jak již bylo popsáno výše. Předpokládá se, že mitochondriální dysfunkce u schizofrenie souvisí se snížením neuronální plasticity [98].

Přímé nálezy abnormalit NO systému u schizofrenie jsou zatím omezené. Methylenová modř, která blokuje NO-zprostředkovanou aktivaci rozpustné guanylyl cyklázy, má při orálním podání jako adjuvans s obvyklými antipsychotiky mírný terapeutický účinek na psychotické a manické pacienty [99]. *Post mortem* studie ukázaly abnormality ve rozložení a morfologii nitrergních neuronů ve striatu schizofreniků [100], v mozečku potom zvýšenou koncentraci NOS [101] a v prefrontálním kortextu zvýšenou expresi nNOS na úrovni mRNA [102]. Koncentrace dusitanů a dusičnanů v *post mortem*

mozkové tkáni schizofreniků byla popsána jako zvýšená [103, 104], zatímco v mozkomíšním moku schizofreniků byla nalezena nižší hladina dusitanů a dusičnanů v porovnání s kontrolami [105].

Hlavním neurotoxickým působením nadbytku NO zřejmě zůstává přispívání k oxidačnímu stresu a poškození mitochondrií. Může také zasahovat do procesů, o nichž je známo, že jsou u schizofrenie porušené (vytváření synapsí, neurotransmise vázaná na NMDA receptory, vlastnosti membrán, kognitivní schopnosti) [106].

NO se podílí na regulaci monoaminergního nervového přenosu mimo jiné tím, že je schopný inhibovat funkci transportérů monoaminů. NO a jeho zdroje blokují uptake dopaminu, noradrenalinu a serotoninu do striatálních a hipokampálních synaptozomů. Efekt NO na transportéry je reverzibilní a neovlivňuje jejich rozpoznávací místo pro monoaminy [83].

Konečně, CAPON (carboxyl-terminal PDZ ligand of neuronal nitric oxide synthase) gen byl prezentován jako jeden z možných genů zvyšujících náchylnost jeho nositele ke schizofrenii. Byla zjištěna souvislost mezi jednonukleotidovými polymorfismy (single-nucleotide polymorphism, SNP) v CAPON genu a výskytem schizofrenie [107]. CAPON se váže na PDZ doménu nNOS a brání tak vzniku komplexu s NMDA receptorem. Při nadměrné exprese CAPON není aktivita nNOS spřažena s činností NMDA receptoru a vede k narušené glutamátergní neurotransmisi vázané na NMDA receptor [108].

3. CÍLE PRÁCE

Cíle této diplomové práce byly následující:

- otestovat lateralitu v expresi a aktivitě NOS v hipokampech kontrolních lidí
- otestovat lateralitu v expresi a aktivitě NOS ve skupinách nemocných pacientů, zejména dementních pacientů s Alzheimerovou nemocí a pacientů se schizofrenií
- srovnání stupně laterality v hipokampech mezi jednotlivými skupinami
- srovnání s dalšími sledovanými parametry a jejich lateralitou (volumetrie *plana temporale*, koncentrace L-glutamátu, L-argininu a L-citrulinu, koncentrace dusitanů a dusitanů + dusičnanů)

4. MATERIÁL A METODY

4.1 Autoptická lidská mozková tkáň

Experimenty této diplomové práce byly provedeny na vzorcích autoptické lidské mozkové tkáně, u nichž délka intervalu *post mortem* nepřesáhla 24 hodin. Vzorky byly průběžně odebírány v letech 2003 - 2005 ze zemřelých pacientů Psychiatrické léčebny Bohnice, Psychiatrické léčebny Dobřany a Fakultní nemocnice Bulovka. Podrobnosti o souboru viz odd. 5.

Z každého mozku bylo na jednotlivých odděleních patologie odebráno 5 oblastí z pravé i z levé hemisféry, které byly po fixaci v 10% formaldehydu podrobeny histologické analýze. Z obou hemisfér se odebíraly tyto oblasti: 3 oblasti neokortexu (*gyrus frontalis medius, gyrus temporalis superior et medius, lobulus parietalis inferior*), 1 oblast hipokampu (*gyrus parahippocampalis*) a 1 z mozečku (*lobulus semilunaris inferior*). Histologická analýza všech vzorků byla provedena na oddělení patologie Psychiatrické léčebny Bohnice a použito bylo barvení hematoxylinem-eosinem-luxolovou modří a AgNO₃. Klasifikace Alzheimerovy nemoci byla provedena ve shodě s pracemi Mirra et al. [109] a Hyman a Trojanowski [110]. Po histologickém vyhodnocení byly vzorky rozděleny do skupin (Alzheimerova nemoc, schizofrenie, multi-infarktová demence, nepsychiatrické nedementní kontroly, smíšené typy demencí).

Z každého mozku byla na odděleních patologie za účelem morfologické analýzy též odebrána oblast *planum temporale* z pravé i levé hemisféry a fixována v 10% formaldehydu.

Z každého mozku byly za účelem biochemické analýzy odebrány oba hipokampy (*Cornu Ammonis*), které byly rozděleny na rostrální, mediální a dorsální část, zabaleny do alobalu a zamraženy na -40°C (délka skladování mezi odběrem a analýzou nepřesáhla 1 měsíc). Stanovení exprese jednotlivých izoforem NOS bylo provedeno v mediální části (CA1) a stanovení aktivit v rostrální části (hippocampal head).

4.2 Biochemická analýza mozku

4.2.1 Stanovení exprese NOS („Western blot“)

Zamražené části hipokampů byly homogenizovány v 10-ti násobku homogenizačního pufru (homogenizér Potter's Brown, teflon/sklo, 20 zdvihů, 800 ot/min). Složení pufru bylo následující: 1 mM EGTA (ethylen glykol-bis(β-aminoethyl éter)-N,N,N,N-tetraoctová kyselina, Sigma), 1 mM dithiotreitol (Sigma), 14,6 µM pepstatin (Sigma), 21 µM leupeptin (Sigma), 0,32 M sacharóza (Serva) a 20 mM HEPES (N-(2-hydroxyethyl)piperazine-N'-2-ethan sulfonová kyselina) (pH pufru bylo nastaveno 1 M NaOH na 7,4). Homogenát byl zcentrifugován (centrifuga UNIVERSAL 32 R, 1100 ot/min – 137 g, 10 min při 4°C). V části supernatantu byla stanovena koncentrace proteinů a vzorky z pravého a levého hipokampu jednoho mozku byly naředěny tak, aby obsahovaly stejné množství celkového proteinu. Koncentrace proteinů v supernatantech se pohybovala v rozmezí od 4,2 do 5,2 mg/ml.

Ze supernatantu bylo odebráno 200 µl vzorku, které byly v mikrozkumavce promíchány s 200 µl vzorkového pufru (125 mM Tris (Sigma), 20% glycerol (Sigma), 4% SDS (Sigma), 1% merkaptoethanol) a poté 5 minut zahřívány na vroucí vodní lázni. Vzorky byly naneseny v množství 18 µl/jamka na polyakrylamidový gel (7,5% separační část, 4% koncentrační část) v prostředí elektrodového pufru (25 mM Tris, 192 mM glycín, 0,1% SDS). SDS PAGE elektroforéza probíhala při napětí 100 V na koncentrační a 200 V na separační části gelu. Po skončení elektroforézy byla separační část gelu přiložena na nitrocelulosovou membránu (0,45 µm, BioRad) a sestaven „sandwich“. Přenos probíhal přes noc při napětí 20 V v prostředí transferového („Towbin“) pufru (25 mM Tris, 192 mM glycín, 10% methanol). Poté byla membrána ze „sandwiche“ vyjmuta, orientačně obarvena Poneceau S (Sigma), seříznuta a označena. Po odbarvení v deion. vodě byla membrána převrstvena 3% roztokem BSA v TBST pufru (10 mM Tris, 150 mM NaCl, 0,05% Tween-20; pH 7,2 – 7,4), ve kterém byla inkubována po dobu 1 hodiny. Po skončení inkubace byla membrána opláchnuta TBST pu frem a následovala 1-hodinová inkubace s roztokem primární protilátky v TBST pufru. Pro měření každé z isoform NOS bylo experimentálně stanoveno vhodné ředění používané protilátky: 1:50 anti-nNOS (Rabbit Anti-Nitric Oxide Synthase I, polyclonal antibody, Chemicon), 1:17 anti-iNOS (Rabbit Anti-Nitric Oxide Synthase II, polyclonal antibody, Chemicon) a 1:500 anti-eNOS (Anti-Nitric Oxide

Synthese, N-Terminal, Human (Rabbit), Calbiochem). Následovalo vymývání roztoku primární protilátky TBST pufrem 3krát po 5ti minutách. Omyté membrány byly převrstveny roztokem sekundární protilátky s navázanou peroxidázou (Swine Anti-Rabbit Immunoglobulin/HRP, Dako Cytomation) zředěné 1:3000 v TBST s 1% netučným mlékem (Non-fat milk, Hannafor). Proběhla 1-hodinová inkubace, membrány byly omyty 5krát po 5ti minutách TBST pufrem. Byl nanesen chemiluminiscenční substrát, připravený smísením 1:1 zásobních roztoků SuperSignal West Pico Chemiluminiscence Substrate (Pierce) a ponechán na membráně 5 minut k inkubaci. Membrána byla přiložena na plastovou destičku a zabalena do fólie. V temné komoře byla spolu s filmem (MXB Film, Kodak) založena do kazety. Expozice trvala podle potřeby 1 – 5 minut. Film vyjmutý z kazety byl vyvolán (Dental Xray developer, Dental Xray fixer, Kodak), opláchnut vodou a usušen na vzduchu. Denzitometrické vyhodnocení bylo provedeno na denzitometru Gel Doc (BioRad).

4.2.2 Stanovení aktivit NOS

Experimenty byly provedeny podle metody popsané v práci Lecanu et al. [111], upravené pro autoptickou lidskou mozkovou tkáň. Zamražené části hipokampů byly homogenizovány v 10-ti násobku homogenizačního pufru (homogenizér Potter's Brown, teflon/sklo, 20 zdvihů, 800 ot/min). Složení pufru bylo následující: 1 mM EGTA (ethylen glykol-bis(β-aminoethyl éter)-N,N,N,N-tetraoctová kyselina, Sigma), 1 mM dithiotreitol (Sigma), 14,6 µM pepstatin (Sigma), 21 µM leupeptin (Sigma), 0,32 M sacharóza (Serva) a 20 mM HEPES (N-(2-hydroxyethyl)piperazine-N'-2-ethan sulfonová kyselina) (pH pufru bylo nastaveno 1 M NaOH na 7,4). Homogenát byl zcentrifugován (centrifuga UNIVERSAL 32 R, 2800 ot/min – 1200 g, 10 min při 4°C). V části supernatantu byla stanovena koncentrace proteinů a vzorky byly naředěny tak, aby obsahovaly 2 mg proteinu/ml (inkubační směs potom obsahovala 100 µg celkového proteinu). Vzorky v homogenizačním pufru byly inkubovány 30 minut při 37°C s 143 µM NADPH (β-nikotinamid adenin dinukleotid fosfát, redukovaná forma, Sigma) a 4,5 µM [14C]argininem (L-[14C(U)]-arginin, PerkinElmer, specifická aktivita 11581 MBq/mmol). Část vzorků, kde byla testována aktivita konstitutivních enzymů (eNOS a nNOS), obsahovala ještě 1 mM CaCl₂. Aktivity jednotlivých NOS byly stanoveny pomocí tří

inhibitорů. Aktivita nNOS byla stanovena spermidinem (Sigma), který je specifický inhibitor nNOS. Aktivita eNOS byla stanovena po odečtení aktivity nNOS pomocí L-NAME ($\text{N}^{\omega}\text{-nitro-L-arginin}$, methyl ester, Sigma), který inhibuje nNOS a eNOS. Aktivita iNOS byla stanovena ve vzorcích neobsahujících Ca^{2+} pomocí aminoguadininu (Sigma), který je inhibitorem všech tří syntáz. Reakce byla zakončena přidáním 1 ml ledového pufru, který sestával z 30 mM HEPES a 3 mM EDTA (etylendiamin-tetraoctová kyselina, Sigma), pH pufru bylo nastaveno 1 M HCl na 5,5. Vzorky byly nality do pasteurových pipet předem naplněných vatou a ionexem a 2x promyty 500 μl redestilované vody. Roztok prošlý ionexem byl zvortexován a 500 μl bylo napipetováno do scintilačních nádobek. Po přidání 5 ml vodou ředitelného kapalného scintilačního koktejlu Ready Safe (Beckman) byla aktivita záření měřena na β -counteru LS 1701 Beckman. Každé měření bylo provedeno v triplikátech.

Úprava kyselého ionexu na mírně zásaditý:

Kyselý ionex DOWEX 50WX8-200 (Aldrich) byl suspendován v redestilované vodě 1:1 a po důkladném promíchání bylo změřeno počáteční pH (přibližně 3,5). K ionexu byl přidán v nadbytku pevný NaOH tak, aby pH roztoku dosahovalo hodnot v rozmezí 13 – 14. Po 3-hodinové inkubaci byl roztok nad ionexem s nadbytečným NaOH odstraněn a byla přidána redestilovaná voda. Promývání bylo opakováno do té doby, než byly hodnoty pH roztoku nižší než 8. Příprava ionexu se prováděla 1x týdně.

4.2.3 Stanovení koncentrace proteinů

Konzentrace proteinů byla stanovena metodou podle Bradfordové [112]. Ke 20 μl supernatantu bylo přidáno 980 μl 0,1 M NaOH a 10 minut inkubováno při laboratorní teplotě s Coomassie reagens (100 mg Coomassie brilliant blue G-250 (Serva), 50 ml koncentrovaného ethanolu, 100 ml koncentrované H_3PO_4 , doplněno do 1 l redestilovanou vodou). Absorbance byla měřena při 590 nm na spektrometru Spekol 11 s použitím BSA (boviní sérumalbumin, Serva) jako standardu. Všechna měření byla prováděna v duplikátech.

4.3 Další parametry

Kromě uvedené exprese a aktivity syntáz oxidu dusnatého byly získány hodnoty některých dalších parametrů metabolismu NO. Tyto experimenty byly provedeny bez účasti autorky diplomové práce. Stanovení samotných dusitanů a dusitanů společně s dusičnanem bylo provedeno kolorimetrickým kitem v Laboratoři biochemie a patofyziologie mozku Psychiatrického centra Praha. Koncentrace aminokyselin L-argininu, L-citrulinu a L-glutamátu byly stanoveny metodou HPLC ve Fyziologickém ústavu AV ČR.

Dále byly získány výsledky morfologické analýzy *planum temporale*. Měření plochy, výšky kůry a objemu této oblasti bylo provedeno volumetrickou metodou na Katedře antropologie 3. lékařské fakulty.

4.4 Index laterality

K vyjádření míry rozdílu jednotlivých parametrů v levém a pravém hipokampu (tj. míry laterality) byl použit **index laterality**:

$$\text{index laterality} = \frac{(L - P)}{(L + P)},$$

kde L je hodnota sledovaného parametru v levém hipokampu a P je hodnota tohoto parametru v pravém hipokampu. Index laterality je tudíž bezrozměrná veličina charakterizující relativní rozložení sledovaného parametru mezi pravý a levý hipokampus. Pokud je jeho hodnota kladná, dosahuje parametr vyšší hodnoty v levém hipokampu (levopravá lateralita), pokud je index laterality naopak záporný, byla vyšší hodnota parametru nalezena v pravém hipokampu (pravo-levá lateralita). V krajních případech, index laterality rovný 1 znamená, že parametr byl měřitelný pouze v levém hipokampu a opačně, index laterality rovný -1 znamená, že parametr byl měřitelný pouze v pravém hipokampu. Pokud se index laterality rovná nule, hodnoty parametrů se v obou hipokampech shodují.

4.5 Statistické zpracování dat

Experimentální data byla statisticky vyhodnocena pomocí BMDP software [113]. Ke globální analýze byla použita analýza variance one-way ANOVA (program 7D) a ANOVA s opakoványmi měřeními (program 2V). K post-hoc analýze byl použit Studentův t-test (program 7D). Lineární regrese a korelační koeficienty byly vypočítány programem 6D. Data v tabulkách jsou uvedena jako aritmetický průměr \pm směrodatná odchylka.

5. VÝSLEDKY

5.1 Analyzovaný soubor

Celkem byla sesbírána mozková tkáň ze 62 lidí, přičemž vzorky z prvních 12 byly použity pouze na zavedení metod. K dalšímu vyhodnocení bylo použito vzorků z 50 pacientů, jejichž charakteristiky jsou shrnutý v tab. č. 1. Podrobné informace o všech pacientech (viz odd. 10, tab. A).

Cílem bylo nashromáždit reprezentativní soubory kontrolních jedinců (netrpících ani demencí, ani psychiatrickým onemocněním), pacientů s Alzheimerovým onemocněním a pacientů se schizofrenií. Jelikož ale v současnosti neexistuje metoda, která by umožňovala stanovit s jistotou diagnózu Alzheimerova onemocnění *ante mortem* [114], byly odebrány vzorky i z pacientů, jejichž diagnóza byla nakonec jiná (multi-infarktová demence, MID; smíšené typy demence, MIX). Vzhedem ke špatné dostupnosti autoptické lidské mozkové tkáně byly tyto vzorky též zahrnuty do experimentů.

Počty jedinců v jednotlivých skupinách jsou následující: 14 kontrol, 17 pacientů s AD, 9 schizofreniků, 7 pacientů s MID a 3 pacienti s MIX. Průměrný věk v době úmrtí výrazně rozděluje soubor na dvě podskupiny. Kontrolní jedinci a schizofrenici zemřeli průměrně v 69,3, resp. 68,7 letech, zatímco pacienti s AD, MID a MIX se dožili v průměru kolem 80 let. Rozdíl je statisticky významný (viz tab. č. 1).

V souboru je mírná převaha mužů (29) nad ženami (21). V jednotlivých diagnostických skupinách se zastoupení mužů a žen příliš neliší, kromě kontrolní skupiny, která obsahuje téměř dvojnásobek mužů.

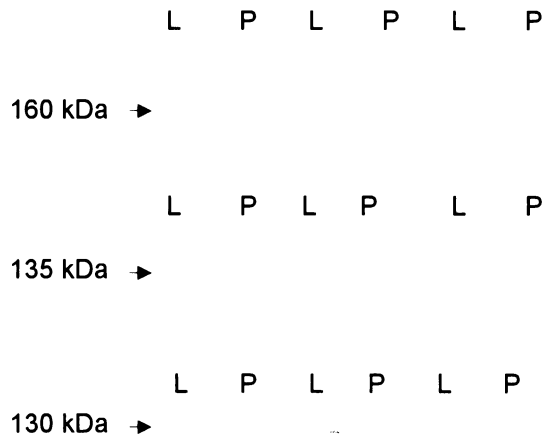
tab. č. 1: Charakteristiky pacientů

| skupiny | n | sex (M/F) | Věk (roky) |
|--------------|----|--------------|----------------------|
| kontroly | 14 | 9/5 | 69.3 ± 10.7 |
| AD | 17 | 9/8 | $80.6 \pm 7.7^{***}$ |
| MID | 7 | 4/3 | $80.3 \pm 4.1^{**}$ |
| MIX | 3 | 2/1 | 80.0 ± 6.6 |
| schizofrenie | 9 | 5/4 | 68.7 ± 10.5 |
| | | | ANOVA: p = 0.0015 |
| M | 29 | 29/0 | 74.9 ± 8.5 |
| F | 21 | 0/21 | 75.7 ± 12.5 |
| | 50 | | ANOVA: p = 0.7745 |

post-hoc: Studentův t-test (pooled variance) – spočteno vzhledem ke kontrolám (**p < 0.01, *** p < 0.001)

5.2 Exprese NOS

Denzitometrické vyhodnocení snímků bylo zpracováno v programu QuantityOne (BioRad) (viz obr. č. 9).



obr. č. 9: Vyhodnocení Western blotu
(nahoře – nNOS; uprostřed – eNOS; dole – iNOS;
L – vzorek z levého hipokampu, P – vzorek z pravého hipokampu)

Dvojice vzorků z levého a pravého hipokampu jednoho pacienta byly nanášeny vedle sebe, aby mohly být zpracovány paralelně vždy na jedné membráně. Metoda nebyla kvantifikována, porovnávaly se pouze optické denzity dvojic levý/pravý hipokampus (L/P) vůči sobě. Z optických denzit těchto dvojic byl vypočítán index laterality. Přehled průměrných indexů lateralit NOS pro jednotlivé skupiny je v tab. č. 2, kompletní výsledky viz odd. 10, tab. B.

Průměrné indexy laterality v tab. č. 2 (str. č. 43) svědčí pouze o mírné asymetrii v množství enzymu jak u kontrol, tak u skupin pacientů. Největší odchylky od nulového indexu se pohybují kolem $\pm 0,15$. Nicméně při pohledu na značné rozptyly jednotlivých indexů laterality je zřejmé, že zdánlivá nízká lateralizace vyplynula ze zprůměrování vzájemně se kompenzujících výkyvů směrem vpravo i vlevo.

tab. č. 2: Lateralita (L-P/L+P) v expresi enzymů

| skupina | n | nNOS | eNOS | iNOS |
|--------------|----|----------------|----------------|-----------------|
| kontroly | 14 | +0.076 ± 0.160 | -0.042 ± 0.346 | -0.064 ± 0.232 |
| AD | 17 | +0.090 ± 0.168 | +0.080 ± 0.132 | +0.144 ± 0.246* |
| MID | 7 | -0.030 ± 0.229 | -0.112 ± 0.168 | -0.002 ± 0.201 |
| MIX | 3 | +0.008 ± 0.100 | -0.033 ± 0.116 | +0.178 ± 0.212 |
| schizofrenie | 9 | +0.098 ± 0.390 | +0.049 ± 0.157 | -0.030 ± 0.183 |
| ANOVA: | | p = 0.7671 | p = 0.3094 | p = 0.0809 |
| M | 29 | +0.032 ± 0.155 | +0.016 ± 0.276 | -0.007 ± 0.222 |
| F | 21 | +0.113 ± 0.290 | -0.006 ± 0.130 | +0.095 ± 0.246 |
| ANOVA: | | p = 0.2087 | p = 7407 | p = 0.1316 |

post-hoc: Studentův t-test (pooled variance) – spočteno vzhledem ke kontrolám (* p < 0.05)

Ačkoliv jsou průměrné indexy laterality v absolutní hodnotě poměrně nízké, lze v porovnání s kontrolami pozorovat tendenci ke kladným hodnotám u AD skupiny a naopak k záporným u MID. Nárůst indexu laterality pro AD skupinu je na hranici statistické významnosti. Též u schizofreniků roste vůči kontrolám podíl exprese v levém hipokampu, ale méně výrazně (u iNOS nedochází ke změně znaménka indexu laterality).

Mezi muži a ženami nebyla v expresi NOS nalezena významná odchylka.

5.3 Aktivita NOS

Aktivita syntáz oxidu dusnatého byla měřena jako množství přeměněného substrátu v nmol za 30 min na 1 mg proteinu ve vzorku. Stejně jako u exprese však byl statisticky zpracován jenom vzájemný poměr hodnot z levého a pravého hipokampu jednoho pacienta (ve formě indexu laterality). Hlavním důvodem byl vliv *post mortem* intervalu na stav vzorku, a tudíž na aktivitu enzymů v něm obsažených. Za předpokladu, že během *post mortem* intervalu dochází se stejnou rychlostí ke stejným biochemickým změnám v obou hemisférách, je jeho délka pro index laterality irrelevantní.

Indexy laterality pro jednotlivé skupiny jsou uvedeny v tab. č. 3 (str. č. 44). Kompletní výsledky viz odd. 10, tab. C.

Aktivita NOS u kontrol nemá jednotný směr lateralizace. Nejméně je lateralizovaná nNOS (prakticky vůbec), iNOS levo-pravě (-0,185) a eNOS převažuje vpravo (+0,132). Průměrné stupně laterality nabývají větších absolutních hodnot než u exprese, opět jsou ovšem patrné značné rozptyly odrážející výraznější individuální asymetrie.

tab. č. 3a: **Lateralita (L-P/L + P) v aktivitě enzymů**

| skupina | n | nNOS | eNOS | iNOS |
|----------------|----------|-------------------|------------------|----------------|
| kontroly | 14 | +0.003 ± 0.485 | -0.185 ± 0.405 | +0.132 ± 0.821 |
| AD | 17 | +0.370 ± 0.413* | +0.172 ± 0.289** | +0.339 ± 0.792 |
| MID | 7 | -0.095 ± 0.327+ | +0.027 ± 0.261 | -0.027 ± 0.902 |
| MIX | 3 | +0.619 ± 0.474* | +0.278 ± 0.261* | +0.355 ± 0.200 |
| schizofrenie | 9 | -0.320 ± 0.457+++ | -0.202 ± 0.450+ | -0.307 ± 0.785 |
| ANOVA: | | p = 0.0014 | p = 0.0228 | p = 0.3747 |
| M | 29 | +0.161 ± 0.555 | -0.016 ± 0.441 | +0.146 ± 0.850 |
| F | 21 | -0.002 ± 0.426 | +0.001 ± 0.298 | +0.071 ± 0.748 |
| ANOVA: | | p = 0.2657 | p = 0.8804 | p = 0.7501 |

post-hoc: Studentův t-test (pooled variance) – spočteno vzhledem ke kontrolám (* p < 0.05, **p < 0.01) nebo k AD (+ p < 0.05, +++ p < 0.001)

U pacientů s AD v porovnání s kontrolami vzrostla kladná hodnota indexu laterality NOS, v případě eNOS statisticky významně, rozdíl u nNOS je na hranici statistické významnosti. Obdobný trend se vyskytuje také u pacientů MIX.

Naopak u schizofreniků klesnul index laterality všech NOS do záporných hodnot, tj ve prospěch pravého hipokampu. Index laterality pro nNOS, eNOS i iNOS má u AD i schizofreniků podobnou absolutní velikost, ovšem pro prvně zmíněné je kladný a pro druhé záporný. U nNOS je tato změna statisticky významná, u eNOS na hranici statistické významnosti.

Bylo zmíněno výše, že aktivita ani exprese nemohla být kvůli nestejným experimentálním podmínkám jednotlivých vzorků kvantifikována. Nicméně lze z naměřených hodnot aktivity odhadnout, že změny v lateralitě u pacientů AD vůči kontrolám lze přičítat většímu nárůstu aktivity vlevo (eNOS, iNOS), resp. nárůstu vlevo a poklesu vpravo (nNOS). U schizofreniků stoupá aktivita všech NOS vůči kontrolám bilaterálně, navíc výrazněji než u AD.

V závislosti na pohlaví nebyl u aktivity žádné z NOS pozorován významný rozdíl.

5.4 Další naměřené parametry

Koncentrace měřených aminokyselin – L-glutamátu, L-argininu a L-citrulinu – a jejich indexy laterality uvádí tab. 4, 5 a 6 (str. č. 46). V tabulkách 7 (str. č. 47) a 8 (str. č. 47) lze nalézt stanovené hodnoty dusitanů a dusitanů s dusičnany, společně s indexy laterality. Tabulka č. 9 (str. č. 47) shrnuje indexy laterality morfologických parametrů *plana temporale*.

tab. č. 4: Koncentrace L-glutamátu (nmoly/mg proteinů) v pravém (P) a levém (L) hipokampu

| Skupina | n | P | L | L-P/L+P |
|--------------|----|--------------|--------------|----------------|
| kontroly | 14 | 113.5 ± 33.4 | 114.1 ± 36.1 | -0.002 ± 0.140 |
| AD | 17 | 127.5 ± 42.8 | 123.4 ± 46.0 | -0.023 ± 0.098 |
| MID | 7 | 137.4 ± 48.8 | 146.6 ± 46.9 | +0.029 ± 0.190 |
| MIX | 3 | 141.3 ± 21.5 | 145.3 ± 26.9 | +0.012 ± 0.110 |
| schizofrenie | 9 | 144.3 ± 37.5 | 144.8 ± 36.2 | +0.003 ± 0.032 |
| ANOVA: | | p = 0.4023 | p = 2806 | p = 0.9031 |
| M | 29 | 127.7 ± 36.6 | 125.1 ± 35.5 | -0.010 ± 0.088 |
| F | 21 | 130.4 ± 44.2 | 134.9 ± 49.1 | +0.006 ± 0.150 |
| ANOVA: | | p = 0.8117 | p = 0.4170 | p = 0.6438 |

ANOVA s opakoványmi měřeními pro skupiny:

- i) skupiny: p = 0.2691
- ii) laterality: p = 0.7042
- iii) interakce: p = 0.9176

ANOVA s opakoványmi měřeními pro pohlaví:

- i) sex: p = 0.5668
- ii) laterality: p = 0.8297
- iii) interakce: p = 0.4223

tab. č. 5: Koncentrace L-citrulinu (nmoly/mg proteinů) v pravém (P) a levém (L) hipokampu

| Skupina | n | P | L | L-P/L+P |
|--------------|----|-------------|-------------|----------------|
| kontroly | 14 | 2.12 ± 1.05 | 2.37 ± 1.41 | +0.032 ± 0.126 |
| AD | 17 | 2.39 ± 1.64 | 2.39 ± 1.52 | +0.008 ± 0.155 |
| MID | 7 | 3.51 ± 1.95 | 3.41 ± 1.63 | -0.007 ± 0.077 |
| MIX | 3 | 2.87 ± 1.01 | 2.18 ± 0.47 | -0.120 ± 0.099 |
| schizofrenie | 9 | 2.69 ± 1.56 | 2.84 ± 1.70 | +0.039 ± 0.164 |
| ANOVA: | | p = 0.3685 | p = 0.5392 | p = 0.4865 |
| M | 29 | 2.40 ± 1.33 | 2.48 ± 1.30 | +0.022 ± 0.152 |
| F | 21 | 2.77 ± 1.74 | 2.75 ± 1.75 | -0.006 ± 0.116 |
| ANOVA: | | p = 0.4027 | p = 0.5397 | p = 0.4851 |

ANOVA s opakoványmi měřeními pro skupiny:

- i) skupiny: p = 0.4577
- ii) laterality: p = 0.5199
- iii) interakce: p = 0.3050

ANOVA s opakoványmi měřeními pro pohlaví:

- i) sex: p = 0.4552
- ii) laterality: p = 0.7379
- iii) interakce: p = 0.6301

tab. č. 6: Koncentrace L-argininu (nmoly/mg proteinů) v pravém (P) a levém (L) hipokampu

| Skupina | n | P | L | L-P/L+P |
|--------------|----|--------------|--------------|-----------------|
| kontroly | 14 | 7.35 ± 2.87 | 8.38 ± 3.36 | +0.067 ± 0.125 |
| AD | 17 | 9.93 ± 5.17 | 9.36 ± 4.56 | -0.028 ± 0.079* |
| MID | 7 | 10.05 ± 3.43 | 10.38 ± 2.96 | +0.021 ± 0.140 |
| MIX | 3 | 9.10 ± 6.95 | 8.25 ± 4.84 | -0.001 ± 0.127 |
| schizofrenie | 9 | 5.53 ± 2.69+ | 5.54 ± 2.86+ | -0.007 ± 0.042 |
| ANOVA: | | p = 0.0816 | p = 0.1053 | p = 0.1550 |
| M | 29 | 8.24 ± 3.96 | 8.13 ± 3.58 | -0.002 ± 0.094 |
| F | 21 | 8.58 ± 4.84 | 8.96 ± 4.44 | +0.029 ± 0.119 |
| ANOVA: | | p = 0.7823 | p = 0.4668 | p = 0.2990 |

ANOVA s opakovánými měřeními pro skupiny:

- i) skupiny: p = 0.0842
- ii) lateralita: p = 0.9840
- iii) interakce: p = 0.2811

ANOVA s opakovánými měřeními pro pohlaví:

- i) sex p = 0.6114
- ii) lateralita: p = 0.6613
- iii) interakce: p = 0.4281

post-hoc: Studentův t-test (pooled variance) – vypočítáno vzhledem ke kontrolám (* p < 0.05) nebo k AD (+ p < 0.05).

Koncentrace sledovaných aminokyselin se mezi skupinami příliš neodlišují, oproti kontrolám u pacientů vždy mírně rostou, vzhledem k velkým rozptylům jsou ale tyto změny nevýznamné. Jedinou vyjímkou je koncentrace L-argininu v pravém i levém hipokampu schizofreniků, která v porovnání s AD pacienty zaznamenala pokles na hranici statistické významnosti.

Průměrné indexy laterality se pohybují v okolí nuly, obvykle nepřekračují ± 0,050. Jediná změna indexu laterality na hranici statistické významnosti se vyskytuje u L-argininu pro AD pacienty v porovnání s kontrolami.

Ani koncentrace dusitanů a dusičnanů se mezi skupinami velmi neliší. Nejvyšší hodnoty byly nalezeny u kontrol, nejnižší u pacientů MID a MIX. Oboustranné snížení v koncentraci dusitanů u pacientů MID v porovnání s kontrolami je na hranici statistické významnosti.

Indexy laterality jsou opět velmi blízké nule, nejvýraznější lateralizaci vykazují kontroly s indexem laterality -0,093 resp. -0,095 pro koncentraci dusitanů resp. dusitanů+dusičnanů.

tab. č. 7: Koncentrace dusitanů (nmoly/mg proteinů) a jejich lateralita

| skupina | n | P | L | L-P/L+P |
|--------------|----|------------|------------|----------------|
| kontroly | 14 | 12.2 ± 4.0 | 9.9 ± 2.2 | -0.093 ± 0.166 |
| AD | 17 | 10.4 ± 5.4 | 9.3 ± 2.4 | -0.017 ± 0.214 |
| MID | 7 | 7.9 ± 2.9* | 7.6 ± 2.6* | -0.013 ± 0.089 |
| MIX | 3 | 7.4 ± 2.4 | 7.8 ± 2.6 | +0.020 ± 0.053 |
| schizofrenie | 9 | 9.6 ± 2.9 | 9.9 ± 2.3 | +0.016 ± 0.181 |
| ANOVA: | | p = 0.1718 | p = 0.1999 | p = 0.5996 |
| M | 29 | 10.7 ± 4.2 | 9.5 ± 2.5 | -0.043 ± 0.182 |
| F | 21 | 9.6 ± 4.6 | 8.8 ± 2.3 | -0.011 ± 0.166 |
| ANOVA: | | p = 0.3818 | p = 0.3286 | p = 0.5313 |

ANOVA s opakovanými měřením pro skupiny:

- i) skupiny: p = 0.0889
- ii) lateralita: p = 0.3470
- iii) interakce: p = 0.5827

ANOVA s opakovanými měřeními pro pohlaví:

- i) sex: p = 0.2837
- ii) lateralita: p = 0.0928
- iii) interakce: p = 0.7227

post-hoc: Studentův t-test (pooled variance) – vypočítáno vzhledem ke kontrolám (* p < 0.05)

tab. č. 8: Koncentrace dusitanů + dusičnanů (nmoly/mg proteinů) a jejich lateralita

| skupina | n | P | L | L-P/L+P |
|--------------|----|------------|------------|----------------|
| kontroly | 14 | 18.4 ± 6.7 | 14.8 ± 4.2 | -0.095 ± 0.168 |
| AD | 17 | 16.6 ± 8.5 | 15.2 ± 5.0 | -0.009 ± 0.220 |
| MID | 7 | 13.0 ± 6.1 | 12.3 ± 5.5 | -0.020 ± 0.078 |
| MIX | 3 | 10.8 ± 3.7 | 10.7 ± 3.2 | -0.003 ± 0.053 |
| schizofrenie | 9 | 13.2 ± 4.3 | 13.7 ± 3.4 | +0.024 ± 0.205 |
| ANOVA: | | p = 0.2087 | p = 0.3894 | p = 0.5907 |
| M | 29 | 16.5 ± 6.3 | 14.9 ± 4.7 | -0.036 ± 0.193 |
| F | 21 | 14.5 ± 8.0 | 13.0 ± 4.2 | -0.019 ± 0.169 |
| ANOVA: | | p = 0.3253 | p = 0.1431 | p = 0.7478 |

ANOVA s opakovanými měřeními pro skupiny:

- i) skupiny: p = 0.1610
- ii) lateralita: p = 0.3359
- iii) interakce: p = 0.6287

ANOVA s opakovanými měřeními pro pohlaví:

- i) sex: p = 0.1725
- ii) lateralita: p = 0.1155
- iii) interakce: p = 0.9568

tab. č. 9: Lateralita (L-P/L + P) plochy, výšky kúry a objemu plana temporale

| skupiny | n | plocha | výška kúry | objem |
|--------------|----|-----------------|----------------|------------------|
| kontroly | 14 | -0.040 ± 0.180 | -0.025 ± 0.067 | -0.064 ± 0.220 |
| AD | 17 | +0.061 ± 0.121 | -0.011 ± 0.078 | +0.050 ± 0.137 |
| MID | 7 | +0.118 ± 0.097* | +0.044 ± 0.057 | +0.160 ± 0.116** |
| MIX | 3 | +0.086 ± 0.078 | -0.056 ± 0.067 | +0.030 ± 0.045 |
| schizofrenie | 9 | +0.034 ± 0.129 | -0.005 ± 0.107 | +0.029 ± 0.174 |
| ANOVA: | | p = 0.1276 | p = 0.3160 | p = 0.0823 |
| M | 29 | +0.034 ± 0.143 | -0.023 ± 0.094 | +0.013 ± 0.189 |
| F | 21 | +0.041 ± 0.146 | +0.009 ± 0.050 | +0.050 ± 0.156 |
| ANOVA: | | p = 0.8677 | p = 0.1666 | p = 0.4605 |

post-hoc: Studentův t-test (pooled variance) – vypočítáno vzhledem ke kontrolám (* p < 0.05, ** p < 0.01)

Průměrné indexy laterality morfologických parametrů *plana temporale* naznačují mírnou pravo-levou lateralizaci u kontrol a opačnou v případě plochy a objemu *plana temporale* u pacientů AD, MIX a schizofreniků. U pacientů MID se nárůst indexu laterality do kladných hodnot týká všech tří parametrů, nejvýraznější je u objemu.

U žádného z parametrů uvedených v tomto oddílu nebyla nalezena významná odchylka mezi muži a ženami.

5.5 Srovnání indexů laterality

Přehled indexů laterality všech sledovaných parametrů pro skupiny kontrol, pacientů s AD, schizofrenií a MID uvádí tab. č. 10 (str. č. 49). Skupina pacientů s MIX byla z dalšího srovnání vyřazena, jelikož čítá pouze 3 pacienty a nebyly u ní nalezeny žádné výrazné odchylky od ostatních dementních pacientů.

Hodnoty indexů laterality dále ilustrují grafy č. 1 (str. č. 50) a 2 (str. č. 51). Z grafů jasně vyplývá, že lateralizace a její změny jsou nejvíce vyjádřeny zejména v aktivitě a dále i v expresi NOS. Ostatní měřené parametry jsou lateralizovány méně, často zcela zanebatelně. Přesto i na nich se někdy odraží vlivy daných patologických stavů.

Výsledky korelační analýzy mezi jednotlivými parametry metabolismu NO nepotvrzily jejich výraznou vzájemnou závislost. Relativně dobrá korelace byla pozorována pouze pro lateralitu eNOS a plochu PT (aktivita: $+R=0,255$, $p=0,074$, exprese: $+R=0,300$, $p=0,034$).

Jednotlivé indexy laterality aktivity NOS se pohybují ve značném rozpětí, zejména u iNOS – při nízkých hodnotách aktivity se často stávalo, že v jednom z dvojice vzorků (pravý/levý hipokampus) byla aktivity zcela neměřitelná. Nulová hodnota aktivity se následně projevila jako index laterality +1 nebo -1. Dále platí, že v průměrné hodnotě indexu laterality se skrývají výrazné individuální asymetrie, které se vzájemně kompenzují.

Kontroly nemají v lateralitě aktivity NOS stejný směr; nNOS se zdá být v průměru nelateralizovaná, eNOS výrazněji doprava a iNOS doleva. Exprese je lateralizována méně, nNOS slabě doprava a eNOS s iNOS slabě doleva. Z ostatních parametrů lze o mírné lateralizaci směřující vpravo hovořit ještě u dusitanů a dusitanů+dusičnanů, u L-argininu a L-citrulinu se objevuje již jen slabě levo-pravá lateralita, L-glutamát zůstává bez

lateralizace. Všechny tři morfologické parametry *planum temporale* dosahují slabé pravo-levé laterality.

U pacientů AD se aktivita všech NOS přesouvá doleva, s největším indexem laterality pro nNOS a největší statistickou významností vůči kontrolám u eNOS. Stejně tak exprese všech NOS převažuje vlevo, lateralita je ale nižší než u aktivity, nejvýraznější je u iNOS. Zbývající parametry jsou spíše nelateralizované, velmi slabá pravo-levá lateralita je patrná u L-glutamátu a L-argininu, levo-pravá u plochy a objemu *plana temporale*.

tab. č. 10: Přehled indexů laterality sledovaných parametrů

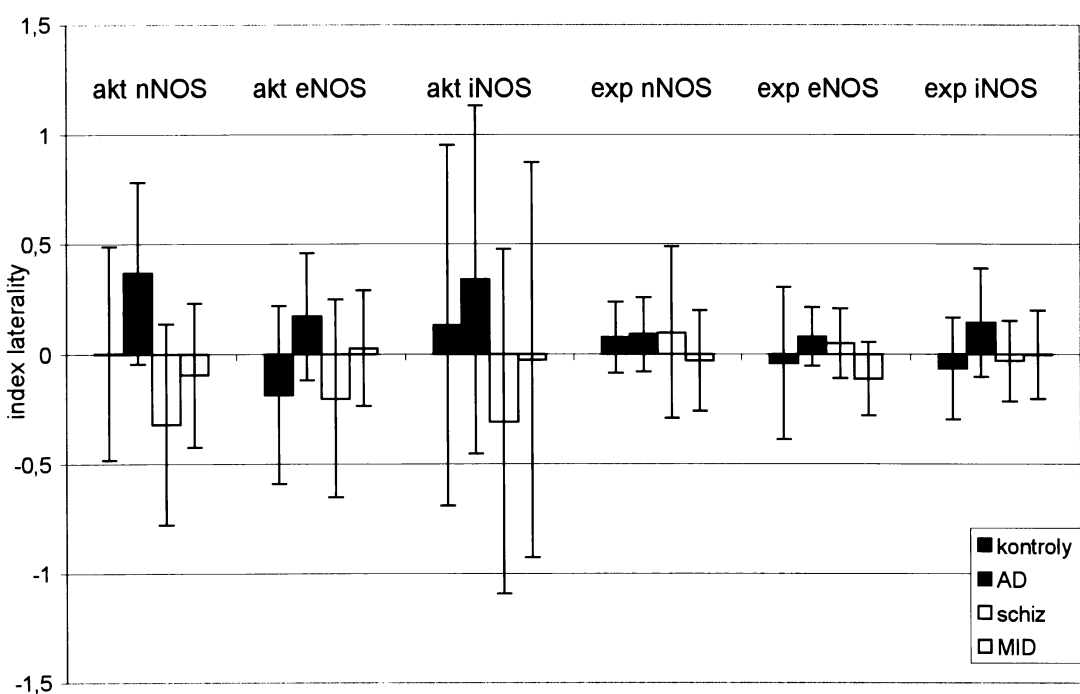
| skupiny metody | kontroly | AD | MID | SCHIZ | ANOVA: |
|------------------------|----------------|----------------------|----------------------|-----------------------|------------|
| aktivita nNOS | +0.003 ± 0.485 | +0.370 ± 0.413 * | -0.095 ± 0.327 + | -0.320 ± 0.457 +++ | p = 0.0014 |
| aktivita eNOS | -0.185 ± 0.405 | +0.172 ± 0.289 ** | +0.027 ± 0.261 | -0.202 ± 0.450 + | p = 0.0228 |
| aktivita iNOS | +0.132 ± 0.821 | +0.339 ± 0.792 | -0.027 ± 0.902 | -0.307 ± 0.785 | p = 0.3747 |
| exprese nNOS | +0.076 ± 0.160 | +0.090 ± 0.168 | -0.030 ± 0.229 | +0.098 ± 0.390 | p = 0.7671 |
| exprese eNOS | -0.042 ± 0.346 | +0.080 ± 0.132 | -0.112 ± 0.168 | +0.049 ± 0.157 | p = 0.3094 |
| exprese iNOS | -0.064 ± 0.232 | +0.144 ± 0.246 * | -0.002 ± 0.201 | -0.030 ± 0.183 | p = 0.0809 |
| L-glu | -0.002 ± 0.140 | -0.023 ± 0.098 | +0.029 ± 0.190 | +0.003 ± 0.032 | p = 0.9031 |
| L-arg | +0.067 ± 0.125 | -0.028 ± 0.079 * | +0.021 ± 0.140 | -0.007 ± 0.042 | p = 0.1550 |
| L-cit | +0.032 ± 0.126 | +0.008 ± 0.155 | -0.007 ± 0.077 | +0.039 ± 0.164 | p = 0.4865 |
| dusitany | -0.093 ± 0.166 | -0.017 ± 0.214 | -0.013 ± 0.089 | +0.016 ± 0.181 | p = 0.5996 |
| dusitany +dusičnany | -0.095 ± 0.168 | -0.009 ± 0.220 | -0.020 ± 0.078 | +0.024 ± 0.205 | p = 0.5907 |
| plocha PT | -0,040 ± 0,180 | +0,061 ± 0,121 | +0,118 ± 0,097 * | +0,034 ± 0,129 | p = 0,1276 |
| výška kůry PT | -0,025 ± 0,067 | -0,011 ± 0,078 | +0,044 ± 0,057 | -0,005 ± 0,107 | p = 0,3160 |
| objem PT | -0,064 ± 0,220 | +0,050 ± 0,137 | +0,160 ± 0,116 ** | +0,029 ± 0,174 | p = 0,0823 |

Studentův t-test byl vypočítán vzhledem ke kontrolám (* p < 0.05, **p < 0.01) nebo k AD (+ p < 0.05, +++ p < 0.001)

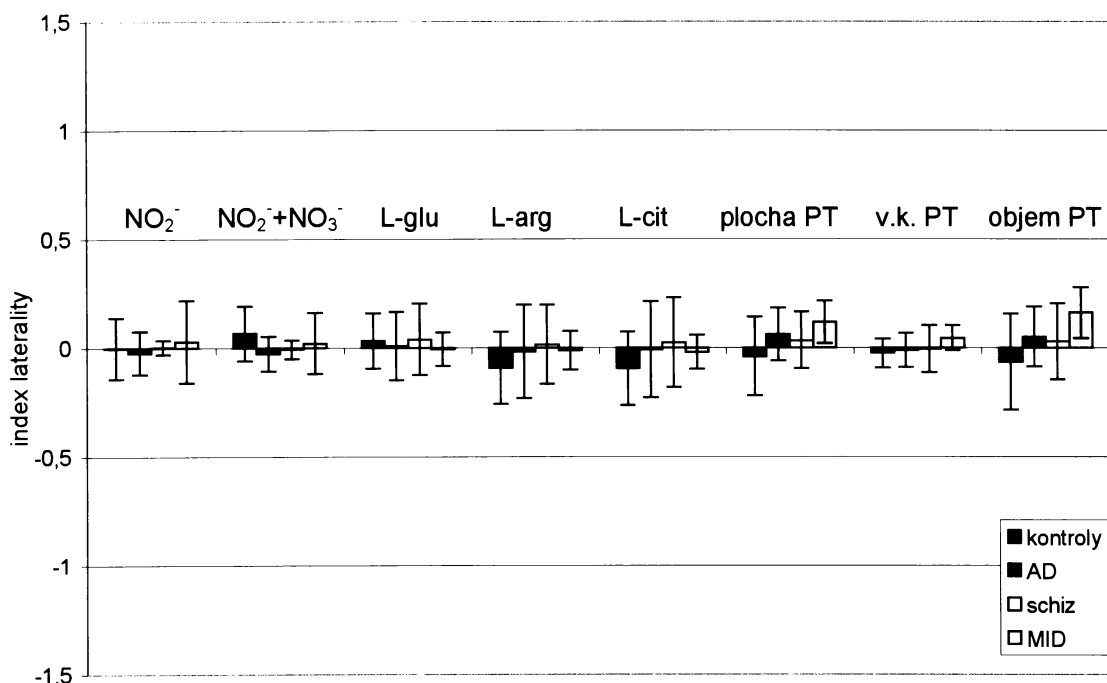
Opačný obraz lateralizace aktivity NOS než u AD byl nalezen u schizofreniků. Indexy laterality všech NOS ukazují na větší aktivitu enzymu vpravo. V exprese už lateralizace tak jednoznačná není, nNOS a eNOS mírně převažují vlevo, iNOS velmi slabě vpravo. Dále se objevuje velice slabá levo-pravá lateralita L-glutamátu, L-citrulinu, dusitanů, dusitanů+dusičnanů, plochy a objemu *plana temporale*.

V porovnání s ostatními skupinami se pacienti MID zdají být minimálně lateralizovaní podle sledovaných parametrů. Za zmínu stojí pouze mírná pravo-levá lateralita v aktivitě nNOS a exprese eNOS a levo-pravá lateralita morfologických parametrů *plana temporale*.

**graf č. 1: Indexy laterality aktivity a exprese NOS
(chybové úsečky představují \pm směrodatnou odchylku)**



graf č. 2: Indexy laterality dusitanů, dusitanů + dusičnanů, L-glutamátu, L-argininu, L- citrulinu, plochy, výšky kůry a objemu plana temporale
 (v.k. = výška kůry; chybové úsečky představují ± směrodatnou odchylku)



Další pohled na lateralizaci měřených parametrů metabolismu NO nabízí tab. č. 11 (str. č. 52). Procentuální rozložení kladných a záporných indexů laterality eliminuje vliv jejich velikosti a podává informaci čistě o straně, kde daný parametr převažuje. Rozdíly nejsou nijak velké, znovu se objevují některé již zmíněné trendy.

U kontrol není zjevná jednostranná převaha všech parametrů, nicméně oproti průměrnému indexu laterality vystupuje větší počet kladných indexů laterality u aktivity nNOS (64,3% kladných indexů laterality). Aktivita eNOS (64,3% záporných indexů laterality) i iNOS (61,5% kladných indexů laterality) převažuje na stejné straně, jako udává průměrný index laterality, stejně tak exprese všech NOS. Mezi aminokyselinami převažuje kladný index laterality (v 57,1% u glutamátu, v 64,3% u citrulinu a v 78,6% u argininu). U pacientů AD se ve shodě s průměrným indexem laterality objevuje levo-pravá lateralita všech NOS v aktivitě (nNOS 87,5%, eNOS 70,6%, iNOS 70,6% kladných indexů laterality) i expresi (nNOS 70,6%, eNOS 88,2%, iNOS 70,6% kladných indexů laterality), naopak sledované aminokyseliny mají lateralitu opačnou (glutamat a citrulin 58,8%,

arginin 52,9% záporných indexů laterality). Převrácená lateralita v aktivitě NOS (nNOS a iNOS 66,7%, eNOS 55,6% záporných indexů laterality) vůči AD je patrná u schizofreniků. U pacientů MID převládá levo-pravá lateralita exprese NOS (57,1% kladných indexů laterality u všech NOS) stejně jako u AD.

tab. č. 11: Rozložení kladných a záporných indexů laterality v %
(akt = aktivita, exp = exprese, kontr = kontroly, schiz = schizofrenie; zvýrazněná pole >50%)

| | akt nNOS | akt eNOS | akt iNOS | exp nNOS | exp eNOS | exp iNOS | L-glu | L-cit | L-arg | NO ₂ - | NO ₂ - + NO ₃ - |
|-------|-------------|-------------|-------------|-------------|-------------|-------------|-------|-------|-------|----------------------|--|
| kontr | | | | | | | | | | | |
| + | 64,3 | 35,7 | 61,5 | 57,1 | 35,7 | 42,9 | 57,1 | 64,3 | 78,6 | 28,6 | 28,6 |
| - | 35,7 | 64,3 | 38,5 | 42,9 | 64,3 | 57,1 | 42,9 | 35,7 | 21,4 | 71,4 | 71,4 |
| AD | | | | | | | | | | | |
| + | 87,5 | 70,6 | 70,6 | 70,6 | 88,2 | 70,6 | 41,2 | 41,2 | 47,1 | 52,9 | 47,1 |
| - | 12,5 | 29,4 | 29,4 | 29,4 | 11,8 | 29,4 | 58,8 | 58,8 | 52,9 | 47,1 | 52,9 |
| schiz | | | | | | | | | | | |
| + | 33,3 | 44,4 | 33,3 | 66,7 | 44,4 | 66,7 | 55,6 | 55,6 | 25,0 | 44,4 | 44,4 |
| - | 66,7 | 55,6 | 66,7 | 33,3 | 55,6 | 33,3 | 44,4 | 44,4 | 75,0 | 55,6 | 55,6 |
| MID | | | | | | | | | | | |
| + | 50,0 | 42,9 | 28,6 | 57,1 | 57,1 | 57,1 | 42,9 | 28,6 | 42,9 | 42,9 | 42,9 |
| - | 50,0 | 57,1 | 71,4 | 42,9 | 42,9 | 42,9 | 57,1 | 71,4 | 57,1 | 57,1 | 57,1 |

6. DISKUSE

Neurochemická lateralizace v mozku člověka nemusí mít charakter stálé dominance, pokud lze chemickou aktivitu sledované látky regulovat jednoduchým způsobem. Klasické neurotransmitterové systémy mírají vícestupňové způsoby regulace, od jejich syntézy, skladování v buňce, přes aktivaci prekurzorů, exocytózu z buňky, až po počet receptorů, re-uptake mechanismy a enzymatickou degradaci. Proto lze předpokládat, že jejich lateralizace vyžaduje určité pevně dané schéma, související s výkonem jejich funkce. Naproti tomu, pro peptiderní neurotransmittery, které jsou syntetizovány de novo v okamžiku potřeby a nemají re-uptake mechanismy, bylo ukázáno, že se jejich lateralita může velmi rychle měnit v závislosti na jejich inaktivaci peptidázami [44].

Podobně NO je syntetizován po aktivaci některé z NOS, vzápětí difunduje z místa syntézy (jako lipofilní plynná molekula může volně procházet přes fosfolipidové membrány) a reaguje s buněčnými strukturami v okruhu asi 40 – 300 μm . Regulace aktivity NO spočívá tudíž v zásadě pouze v regulaci množství a aktivity NOS [80]. Lateralita nitrergního mediátorového systému může být tudíž velmi proměnlivá a určená jinými asymetrickými vlivy.

6.1 Mediátorový systém NO u kontrol

Proměnlivost laterality nitrergního systému ilustrují hodnoty aktivit jednotlivých NOS u kontrol. Značné rozdíly mezi pravým a levým hipokampem na individuální úrovni se sice v průměru částečně stírají (zvláště u nNOS, která je v průměru prakticky nelateralizovaná), nicméně při pohledu na podrobné výsledky je zřetelná odlišná lateralizace každé z NOS – z individuálního i globálního hlediska. Odráží se zde pravděpodobně rozdílné funkce jednotlivých NOS v organismu.

Nejvíce je v průměru lateralizovaná eNOS (-0,185), slabý pravo-levý směr laterality je stejný i v její expresi (-0,042). Jelikož je eNOS vázaná především na svou úlohu v endotelu krevních cév, může mít tato lateralita svůj původ v asymetrii krevního zásobení hipokampu. Vzhledem k převažující pravo-levé lateralitě velikosti hipokampu v populaci [22] může mít pravý hipokampus též cévní systém většího rozsahu. Určitou podporu pro původ pravo-levé lateralizace eNOS v anatomické asymetrii mozku

představuje její poměrně dobrá korelace s plochou *planum temporale*, která byla významnější v expresi ($+R = 0,300$, $p = 0,034$), než v aktivitě ($+R = 0,255$, $p = 0,074$).

Na druhou stranu nalezená lateralita *planum temporale* představuje problematickou část získaných výsledků, jelikož pravo-levá (i když poměrně slabá) asymetrie plochy, výšky kůry i objemu *planum temporale* je v přímém rozporu s převažujícími údaji v literatuře. *Post mortem* studie délky a plochy *planum temporale* uvádějí levostrannou asymetrii *planum temporale*, sníženou u leváků a žen [115], stejně tak in-vivo MRI studie [116]. Ovšem objevily se i práce, které asymetrii *planum temporale* u kontrolních subjektů nenalezly (např. [117]). Rozpor ve výsledcích morfometrie *planum temporale* bývá vysvětlován nejednotnými metodickými kritérii pro vymezení oblasti *planum temporale*. V závislosti na vymezení *planum temporale* můžou vznikat protichůdné nálezy; v posteriorní části *planum temporale* nebyla nalezena žádná asymetrie, v anteriorní dokonce pravostranná [118]. Dále je nutno brát v úvahu, že ačkoliv z neuropsychiatrického hlediska lze považovat námi použitý soubor za kontrolní, z obecně lékařského hlediska se jednalo o heterogenní skupinu s různými diagnózami a příčinami úmrtí (viz odd. 10, tab. A). Kontrolní soubor byl také příliš malý na to, aby se mohly odchylky statisticky projevit (studie dokládající morfologickou asymetrii bývají prováděny na souborech kolem 100 jedinců). Údaje o pravorukosti/levorukosti nejsou k dispozici, jelikož se obvykle v kazuistice neuvádějí a po úmrtí je nebylo možné zpětně vyzískat.

iNOS by za normálních podmínek neměla být v buňkách vůbec exprimována, potvrzuje to *post mortem* studie z různých oblastí mozku [119]. Nicméně v námi použitém kontrolním souboru byla zachycena její přítomnost v hipokampu. Opět je nutné připomenout, že kontrolní soubor sestával z nedementních nepychiatrických jedinců, ale jejich zdravotní stav byl jinak různorodý (viz výše). Měřené aktivity iNOS byly ovšem velice nízké, ve většině případů alespoň na jedné straně neměřitelné. Neměřitelnost aktivity v jednom hipokampu se projevila jako index laterality +1 nebo -1, který neodráží skutečnou asymetrii, ale detekční limit použité metody. Z toho důvodu klesá i význam nalezené pravo-levé laterality (-0,132).

Některé studie uvádějí, že enzymatická aktivita NOS v lidském mozku je velmi stabilní i během *post mortem* intervalu [119, 120] až do 54 hodin. Námi provedená měření však tuto skutečnost nepotvrzuje, stav vzorku se v závislosti na délce *post mortem* intervalu negativně projevoval ve vysokých rozptylech aktivity NOS i na kvalitě Western blotu (různě intenzivní pozadí, více imunoreaktivních proteinových frakcí).

Z dalších parametrů lze pozorovat mírnou pravo-levou lateralitu dusitanů a dusičnanů (-0,095), L-glutamát, L-arginin a L-citrulin jsou lateralizovány ještě méně. Pravo-levá lateralita dusitanů a dusičnanů může odrážet pravo-levou lateralitu eNOS (viz výše), vzhledem k tomu, že nNOS je téměř nelateralizovaná a hodnoty aktivity iNOS jsou velmi nízké; výrazná korelace mezi koncentrací dusitanů a dusičnanů a aktivitou NOS však nebyla nalezena.

6.2 Mediátorový systém NO za patologických podmínek

Zdá se, že patologický proces, ať už v případě Alzheimerovy choroby či schizofrenie, může ve skupině pacientů sjednotit směr laterality nitroregního systému. Za tímto jevem může stát jednak interakce normální cerebrální lateralizace s probíhajícím onemocněním (rozdílná vulnerabilita pravé a levé hemisféry), nebo odlišná cerebrální lateralizace související s dispozicí k rozvoji onemocnění.

Aktivita všech tří NOS se u pacientů s Alzheimerovou chorobou přesouvá do levého hipokampu, tento trend sleduje poněkud mírněji i exprese. Zatímco nárůst indexu laterality aktivity je u iNOS a eNOS pravděpodobně způsoben větším růstem aktivity v levém hipokampu, u nNOS data naznačují kromě zvýšení aktivity vlevo i snížení vpravo. Zvýšená aktivita NOS nepochybňě svědčí o jejím zapojení do neurodegenerativního procesu. Tento nález se shoduje s údaji v literatuře, tj. zvýšenou aktivitou NOS v mozku pacientů s AD [121]. Z námi naměřených dat lze odhadnout, že největší podíl na nárůstu aktivity NOS má pravděpodobně eNOS, iNOS narůstá mírněji, než by se dalo podle její roli v patogenezi očekávat. Převaha aktivity i exprese NOS v levém hipokampu potvrzuje údaje o časnějším a hlubším poškození levé hemisféry během Alzheimerova onemocnění [25].

Naopak, aktivita všech tří NOS u pacientů se schizofrenií ukázala protichůdnou lateralizaci vůči pacientům s Alzheimerovou chorobou. V expresi NOS se ovšem tato změna neprojevila. Podle naměřených aktivit lze odhadovat, že změna laterality nastává pravděpodobně výraznějším zvýšením aktivity NOS v pravém hipokampu.. Data v literatuře uvádějí zvýšenou koncentraci NOS v mozku schizofrenních pacientů [101, 102], případně nezměněné množství eNOS a nNOS u schizofreniků vůči kontrolám [120]. Nalezené zvýšení aktivity eNOS a nNOS je v rozporu s literaturou, udávající sníženou

aktivitu konstitutivních NOS [120]. Zvýšení aktivity převážně v pravém hipokampu se týká i iNOS (doprovázené mírnou pravo-levou lateralitou exprese). Ačkoliv byla opakovaně prokázána nepřítomnost zánětu u schizofrenie, zřejmě se mohou u tohoto onemocnění vyskytnout jiné faktory indukující expresi iNOS a stimulující její aktivitu. Nejvýraznější změnu v lateralitě aktivity oproti skupině pacientů s Alzheimerovou chorobou lze pozorovat u nNOS. Aktivita nNOS je nejcharakterističtější pro funkci NO jako signální molekuly v nervovém systému, proto není příliš překvapivé, že její změny jsou nejcitlivější k přítomnosti neuropsychiatrické poruchy. Převažující aktivita NOS v pravém hipokampu může ukazovat na lokalizaci patologických dějů spíše v pravé hemisféře, ovšem podobné závěry jsou velmi spekulativní a k jejich ověření bude zapotřebí dalšího výzkumu.

Dusitaný a dusičnaný se považují za finální produkty přeměny NO v organismu, odrážející aktivitu NOS. Námi nalezené změny v lateralitě NOS se však v lateralitě dusitanů a dusičnanů projevily jen velmi neurčitě, u dementních pacientů i schizofreniků byl index laterality dusitanů a dusičnanů blízký nule. Nicméně koncentrace dusitanů a dusičnanů se oproti kontrolám snížila, nejvíce u pacientů s multi-infarkt demencí. V literatuře existují údaje o poklesu dusitanů a dusičnanů v mozkové tkáni pacientů s AD [93], v mozkomíšním moku byly nalezeny protichůdné údaje popisující jak zvýšení [94], tak snížení dusitanů a dusičnanů [122]; u schizofreniků byly nalezeny zvýšené hladiny dusitanů a dusičnanů v mozkové tkáni [103], naopak snížené v mozkomíšním moku [105]. Zajímavé jsou údaje o snížení koncentrace dusitanů a dusičnanů u pacientů s AD [95] a schizofrenií [123] v plazmě, korelující se zvýšením endogenního kompetitivního inhibitoru NOS, asymetrického dimethylargininu (ADMA). Zvýšené množství ADMA v krevním oběhu a jeho inhibice eNOS může mít škodlivý vliv na cévní systém v mozku, není vyloučeno, že inhibuje také produkci NO ostatními NOS. Ačkoliv nelze říct, do jaké míry odpovídají data naměřená v plazmě a mozkomíšním moku koncentraci dusitanů a dusičnanů v mozkové tkáni, v souhrnu převažují údaje o poklesu hladiny dusitanů a dusičnanů u AD i schizofrenie, v souhlasu s našimi hodnotami. Nesoulad mezi asymetrickým zvýšením aktivity NOS na jedné straně a nezměněnou lateralitou dusitanů a dusičnanů a celkovým snížením jejich koncentrace na straně druhé zpochybňují přímý vztah mezi mírou tvorby NO a koncentrací dusitanů a dusičnanů. Rozporuplné výsledky v literatuře tyto pochybnosti jenom utvrzují.

Stejně tak změny v lateralitě sledovaných aminokyselin jsou nevýrazné (kromě zvýšení L-argininu v pravém hipokampu u pacientů s AD), indexy laterality zůstavají téměř nulové. Koncentrace L-glutamátu byla u pacientů s AD i schizofrenií mírně zvýšená, změna ale nebyla významná. V literatuře nejsou údaje o zvýšené koncentraci L-glutamátu u AD, ačkoli by se vzhledem ke zvýšené excitotoxicitě v patogenezi onemocnění dala taková změna očekávat. Excitotoxicický mechanismus se pravděpodobně objevuje i za fyziologických koncentrací L-glutamátu, pokud jsou přítomny další patologické faktory [82]. U schizofrenie se předpokládá deficit glutamátergního systému, nicméně v koncentraci L-glutamátu nebyly podle literatury nalezeny výrazné odchylky od kontrol [124]. Konkrétní výsledky závisí na dalších faktorech, jako je medikace pacienta, průběh a trvání psychózy. U L-argininu byla nalezena mírně zvýšená koncentrace u dementních pacientů, u schizofreniků naopak významně snížená. Hladiny L-citrulinu byly mezi skupinami srovnatelné. V literatuře existují údaje pouze o nezměněné hladině L-argininu a L-citrulinu v mozkomíšním moku u AD v porovnání s kontrolami [125]. Kromě syntézy NO jsou aminokyseliny L-arginin a L-citrulin zapojeny do dalších biochemických drah, což vysvětluje, proč se na koncentracích těchto aminokyselin neprojevují změny v aktivitě NOS. Lze shrnout, že využití třech sledovaných aminokyselin jako indikátorů *pre mortem* enzymatické aktivity NOS, stejně jako laterality nitrergního systému, je prakticky nemožné.

Podobně jako u kontrol, nalezená lateralita *planum temporale* je obtížně interpretovatelná. Nejvíce se index laterality změnil u pacientů s multi-infarktovou demencí, kde se u všech parametrů pravo-levá lateralita nalezená u kontrol obrátila na levo-pravou. U plochy a objemu *plana temporale* se objevuje levo-pravá lateralita též u pacientů s AD a schizofrenií. Na základě těchto údajů nelze potvrdit publikované nálezy výraznější atrofie korových oblastí u AD [49], ani snížení asymetrie [115] či redukci objemu levého *plana temporale* [117] u schizofreniků. Avšak podle publikované analýzy dat získaných na skupině 60 pacientů z původního souboru (zahrnujícího zde uvedený 50-ti členný soubor) [126] byla plocha, výška kůry i objem *plana temporale* u schizofreniků výrazně nižší než u kontrol. Navíc byly pozorovány změny ve tvaru této oblasti oproti kontrolám a dementním pacientům.

7. ZÁVĚR

Nebyl nalezen jednotný směr lateralizace mediátorového systému NO u kontrol. Byly ale prokázány značné rozdíly v aktivitě i expresi jednotlivých NOS mezi pravým a levým hipokampem jak na individuální, tak i celkové úrovni. V případě Alzheimerova onemocnění byla nalezena levo-pravá lateralita aktivity NOS, naopak u schizofrenie pravo-levá lateralita aktivity NOS. Tato protichůdná tendence byla nejvýraznější u nNOS. Na úrovni exprese NOS byly změny laterality vyjádřeny mnohem slaběji. Ostatní parametry metabolismu NO (glutamát, arginin, citrulin, dusičnany, dusitany) nebyly lateralizovány vůbec nebo velmi nevýrazně. Morfologické parametry *plana temporale* nepotvrzily výrazné změny laterality ani u pacientů s Alzheimerovým onemocněním, ani u schizofreniků.

Výsledky ukazují jednak klíčovou roli aktivity NOS pro lateralizaci mediátorového systému, jednak různé úlohy jednotlivých NOS v organismu. U Alzheimerovy choroby se levo-pravá lateralita NOS shoduje s údaji v literatuře o vyšším poškození levé hemisféry během nemoci. Naopak u schizofreniků naznačuje pravo-levá lateralita NOS větší poškození pravé hemisféry.

8. SEZNAM LITERATURY

1. Bisazza, A., Rogers, L.J., Vallortigara, G: The origins of cerebral asymmetry: a review of evidence of behavioural and brain lateralization in fishes, reptiles and amphibians. *Neurosci. Biobehav. Rev.* 22, 411-426 (1998)
2. Splitt, M.P.; Burn, J.; Goodship, J. : Defects in the determination of left-right asymmetry. *J. Med. Genet.* 33:498-503, 1996.
3. Levin, M.: The embryonic origins of left-right asymmetry. *Crit. Rev. Oral. Biol. Med.* 15, 197-206 (2004)
4. Wolf, M.E. and Goodale, M.A.: Oral asymmetries during verbal and nonverbal movements of the mouth. *Neuropsychologia* 25, 375-396 (1987)
5. Rogers, L.J.: Behavioral, structural and neurochemical asymmetries in the avian brain: A model system for studying visual development and processing. *Neurosci. Biobehav. Rev.* 20, 487-503 (1996)
6. LaMendola N. P. and Bever T.G.: Peripheral and cerebral asymmetries in the rat. *Science* 278 483-486 (1997)
7. Ward, J.P., Hopkins, W.D: Primate laterality: current behavioural evidence of primate asymmetries. Springer Verlag, New York (1993)
8. Güntürkün, O.: Hemispheric asymmetry in the visual system of birds. V knize The Asymmetrical Brain (Hugdahl, K., Davidson, R.J., ed.) MIT Press, Cambridge, Massachusetts, p.187-229 (2004)
9. Babcock, L.E. and Robinson R.A.: Preferences of paleozoic predators. *Nature* 337 695-696 (1989)
10. Crow, T.J.: Did *Homo sapiens* speciate on the Y chromosome? *Psycoloquy* 11, 001 (2000) <http://www.cogsci.soton.ac.uk/cgi/psyc/newpsy?11.001>
11. Chi, J.G., Dooling, E.C., Gilles, F.H.: Gyral development of the human brain. *Ann. Neurol.* 1, 86-93 (1976)
12. Sun, T., Patoine, C., Abu-Khalil, A., Visvader, J., Sum, E., Cherry, T.J., Orkin, S.H., Geschwind, D.H., Walsh, C.A.: Early asymmetry of gene transcription in embryonic human left and right cerebral cortex. *Science* 308, 1794-1798 (2005)
13. Jäncke, L., Steinmetz, H.: Anatomical brain asymmetries and their relevance for functional asymmetries. V knize: The Asymmetrical Brain. MIT Press, Cambridge, Massachusetts, p.187-229 (2004)

14. Holloway, R.L. and de LaCoste-Lareymondie, M.C.: Some preliminary findings on the paleontology of cerebral dominance. *Am. J. Phys. Ant.* 58, 101-110 (1982)
15. LeMay, M.: Morphological cerebral asymmetries of modern man, fossil man, and nonhuman primate. *Ann. NY Acad. Sci.* 280, 349-366 (1976)
16. Eberstaller, O.: Zür Oberflächen Anatomie der Grosshirn Hemisphaeren. *Wien. Med. 7*, 479-482, 542-582, 642-644 (1884)
17. Cunningham, D.J.: Contribution to the surgace anatomy of the cerebral hemispheres. *Cunningham Mem. R. Ir. Acad.* 7, 372 (1892)
18. Geschwind, N., Levitsky, W.: Human brain: left-right asymmetries in temporal speech region. *Science* 161, 186-187 (1968)
19. Fleschig, P.: Bemerkungen über die Hörsphare des menschlichen Gehims. *Neurol. Zent. Bl.* 27, 2-7 (1908)
20. Habib, M., Robichon, F., Levrier, O., Khalil, R., Salamon, G.: Diverging asymmetries of temporo-parietal cortical areas: a reappraisal of Geschwind/Galaburda theory. *Brain Lang.* 48, 238-258 (1995)
21. Steinmetz, H.: Structure, functional and cerebral asymmetry: in vino morphometry of the planum temporale. *Neurosci. Biobehav. Rev.* 20, 587-591 (1996)
22. Pedraza, O., Bowers, D., Gilmore, R.: Asymmetry of the hippocampus and amygdala in MRI volumetric measurements of normal adults. *J. Int. Neuropsychol. Soc.* 10, 664-678 (2004)
23. Harris, L.J.: Early theory and research on hemispheric specialization. *Schizophr. Bull.* 25, 11-39 (1999)
24. Broca, P. Remarques sur le siège de la faculté du langage articulé, suivies d'une observation d'aphémie (perte de la parole). *Bull. Soc. Antropol.* 6, 330-357 (1861)
25. Toga, A.W., Thompson P.M.: Mapping brain asymmetry. *Nature Neurosci.* 4, 37-48 (2003)
26. Geschwind, N. and Galaburda, A.M. *Cerebral Lateralization*. MIT Press, Cambridge, Massachusetts (1987)
27. Bryden, M.P., McManus, I.C., Bulman-Fleming, M.B.: Evaluating the empirical support for the Geschwind-Behan-Galaburda model of cerebral lateralization. *Brain Cogn.* 26, 103-167 (1994)
28. Coren, S., Halpern, D.F.: Left-handedness: a marker for decreased survival fitness. *Psychol. Bull.* 109, 90-106 (1991)

29. Harris, L.J.: Do left-handers die sooner than right-handers? Commentary on Coren and Halpern's (1991) "Left-handedness: a marker for decreased survival fitness" *Psychol. Bull.* 114, 203-234 (1993)
30. Annett, M.: *Left, Right, Hand and Brain*. Lawrence Erlbaum, London (1985)
31. Annett, M.: Cerebral asymmetry in twins: predictions of the right shift theory. *Neuropsychologia* 41, 469-479 (2003)
32. Alexander, M.P. and Annett, M.: Crossed aphasia and related anomalies of cerebral organization: case reports and a genetic hypothesis. *Brain and Language* 55, 213-239 (1996)
33. Annet, M.: The theory of an agnostic right shift gene in schizophrenia and autism. *Schizophr. Res.* 39, 177-182 (1999)
34. Kieler, H., Cnattingius, S., Haglund, B., Palmgren J., Axelsson, O.: Sinistrality – a side-effect of prenatal sonography: a comparative study of young men. *Epidemiology* 12, 618-623 (2001)
35. Weiller, C., Isensee, C., Rijntjes, M., Huber, W., Muller, S., Bier, D., Dutschka, K., Woods, R.P., Noth, J., Diener, H.C.: Recovery from Wernicke's aphasia: a positron emission tomographic study. *Ann. Neurol.* 37, 723-732 (1995)
36. Duchowny, M., Jayakar, P., Harvey, A.S., Resnick, T., Alvarez, L., Dean, P. et al.: Language cortex representation: effects of developmental versus acquired pathology. *Ann. Neurol.* 40, 31-38 (1996)
37. De Vos, K.J., Wylie, E., Geckler, C., Kotagal, P., Comair, Y.: Language dominance in patients with early childhood tumors near left hemisphere language areas. *Neurology* 45, 349-356 (1995)
38. Liégois, F., Connelly, A., Cross, J.H., Boyd, S.G., Gadian, D.G., Vargha-Khadem, F., Baldeweg, T.: Language reorganization in children with early onset lesions of the left hemisphere: an fMRI study. *Brain* 127, 1229-1236 (2004)
39. Tang, A.C.: A hippocampal theory of cerebral lateralization. V knize: *The Asymmetrical Brain* (Hugdahl, K., Davidson, R.J., ed.). MIT Press, Cambridge, Massachusetts, p. 37-68 (2004)
40. Tucker, D.M., Williamson, P.A.: Asymmetric neural control systems in human self-regulation. *Psychol. Rev.* 91, 185-215 (1984)
41. Oke, A., Keller, R., Meffer, I., Adams, R.N.: Lateralization of norepinephrine in human thalamus.. *Science* 200, 1411-1413 (1978)

42. Glick, S.D., Ross, D.A., Hough, L.B.: Lateral asymmetry of neurotransmitters in human brain. *Brain. Res.* 234, 53-63 (1982)
43. Amaducci, L., Sorbi, S., Albanese, A., Gainotti, G.: Choline acetyltransferase (ChAT) activity differs in right and left human temporal lobes. *Neurology* 31, 799-805 (1981)
44. Ramírez, M., Prieto, I., Vives, F., de Gasparo, M., Alba, F.: Neuropeptides, neuropeptidases and brain asymmetry. *Curr. Protein Pept. Sci.* 5, 497-506 (2004)
45. Ramírez, M., Arechaga, G., Martínez, J.M., Prieto, I., Ramírez-Expósito, M.J., Sánchez, B., Alba, F.: Environmental light-darkness conditions induce changes in brain and peripheral pyroglutamyl-peptidase I activity. *Neurochem. Res.* 26, 463-468 (2001)
46. Hebert, L.E., Beckett, L.A., Scherr, P.A., Evans, D.A.: Annual incidence of Alzheimer disease in the United States projected to the years 2000 through 2050. *Alzheimer Dis. Assoc. Disord.* 15, 169-173 (2001)
47. Maccioni, R.B., Muñoz, J.P., Barbeito, L.: The molecular bases of Alzheimer's disease and other neurodegenerative disorders. *Arch. Med. Res.* 32, 367-381 (2001)
48. Wirths, O., Multhaup, G., Bayer, T.A.: A modified β -amyloid hypothesis: intraneuronal accumulation of the β -amyloid peptide – the first step of a fatal cascade. *J. Neurochem.* 91, 513-520 (2004)
49. Thompson, P.M., Mega, M.S., Woods, R.P., Zoumalan, C.I., Lindshield, C.J., Blanton, R.E., Moussai, J., Holmes, C.J., Cummings, J.L., Toga, A.W.: Cortical change in Alzheimer's disease detected with a disease-specific population-based brain atlas. *Cereb. Cortex* 11, 1-16 (2001)
50. Lowenstein, D.A., Barker, W.W., Chang, J.Y., Apicella, A., Yoshii, F., Kothari, P., Levin, B., Duara, R.: Predominant left hemisphere metabolic dysfunction in dementia. *Arch. Neurol.* 46, 146-152 (1989)
51. Geroldi, C., Laakso, M.P., DeCarli, C., Beltramello, A., Bianchetti, A., Soininen, H., Trabucchi, M., Frisoni, G.B.: Apolipoprotein E genotype and hippocampal asymmetry in Alzheimer's disease: a volumetric MRI study. *J. Neurol. Neurosurg. Psychiatry* 68, 93-96 (2000)
52. Jablensky, A., Sartorius, N., Ernberg, G. et al.: Schizophrenia: manifestations, incidence and course in different cultures. A World Health Organization ten country study. *Psychol. Med. Suppl.* 20, 1-97 (1992)

53. Johnstone, E.C., Crow, T.J., Frith, C.D., Husband, J., Kreel, L.: Cerebral ventricular size and cognitive impairment in chronic schizophrenia. *Lancet* 2, 924-926 (1976)
54. Crow T.J., Ball, J., Bloom, S.R., Brown, R., Bruton, C.J., Colter, N., Frith, C.D., Johnstone, E.C., Owens, D.G., Roberts, G.W.: Schizophrenia as an anomaly of development of cerebral asymmetry. *Arch. Gen. Psychiatry* 46, 1145- 1150 (1989)
55. Crow, T.J.: Is schizophrenia the price that *Homo sapiens* pays for language? *Schizophr. Res.* 28, 127-141 (1997)
56. Sommer, I., Aleman, A., Ramsey, N., Bouma, A., Kahn, R.: Handedness, language lateralisation and anatomical asymmetry in schizophrenia. *Brit. J. Psych.* 178, 344-351 (2001)
57. Shirakawa, O., Kitamura, N., Lin, X.H., Hashimoto, T., Maeda, K.: Abnormal neurochemical asymmetry in the temporal lobe of schizophrenia. *Prog. Neuro-Psychopharmacol. & Biol. Psychiat.* 25, 867-877 (2001)
58. Reynolds, G.P.: Increased concentrations and lateral asymmetry of amygdala dopamine in schizophrenia. *Nature* 305, 527-529 (1983)
59. Reynolds, G.P., Czudek, C., Andrews, H.B.: Deficit and hemispheric asymmetry of GABA uptake sites in the hippocampus in schizophrenia. *Biol. Psychiat.* 27, 1038-1044 (1990)
60. Lamas, S., Pérez-Sala, D., Moncada, S.: Nitric oxide: from discovery to the clinic. *Trends Pharmacol. Sci.* 19, 436-438 (1998)
61. Guix, F.X., Uribesalgo, I., Coma, M., Muñoz, F.J.: The physiology and pathophysiology of nitric oxide in the brain. *Prog. Neurobiol.* 76, 126-152 (2005)
62. Lamas, S., Marsden, P.A., Li, G.K., Tempst, P., Michel, T.: Endotelial nitric oxide synthase: molecular cloning and characterization of a distinct constitutive enzyme isoform. *Proc. Natl. Acad. Sci. U.S.A.* 89, 6348-6352 (1992)
63. Mungrue, I.N., Bredt, D.S., Stewart, D.J., Husain, M.: From molecules to mammals: what's NOS got to do with it? *Acta Physiol. Scand.* 179, 123-135 (2003)
64. Iadecola, C., Zhang, F., Xu, S., Casey, R., Ross, M.E.: Inducible nitric oxide synthase gene expression in brain following cerebral ischemia. *J. Cereb. Blood Flow Metab.* 15, 378-384 (1995)
65. Mayer, B., John, M., Heinzel, B., Werner, E.R., Wachter, H., Schultz, G., Bohme, E.: Brain nitric oxide synthase is a biopterin- and flavin-containing multi-functional oxido-reductase. *FEBS Lett.* 288, 187-191 (1991)

66. Stuehr, D.J.: Mammalian nitric oxide synthases. *Biochim. Biophys. Acta* 1411, 217-230 (1999)
67. Marsden, P.A., Heng, H.H., Sherer, S.W., Stewart, R.J., Hall, A.V., Shi, X.M., Tsui, L.C., Schnappert, K.T.: Structure and chromosomal localization of the human constitutive endothelial nitric oxide synthase gene. *J. Biol. Chem.* 268, 22201-22208 (1993)
68. Wu, K.K.: Regulation of endothelial nitric oxide synthase activity and gene expression. *Ann. N.Y. Acad. Sci.* 962, 122-130 (2002)
69. Lowenstein, C.J., Glatt, C.S., Bredt, D.S., Snyder, S.H.: Cloned and expressed macrophage nitric oxide synthase contrasts with the brain enzyme. *Proc. Natl. Acad. Sci. U.S.A.* 89, 6711-6715 (1992)
70. Togashi, H., Sasaki, M., Frohman, E., Taira, E., Ratan, R.R., Dawson, T.M., Dawson, V.L.: Neuronal (type I) nitric oxide synthase regulates nuclear factor κB activity and immunologic (type II) nitric oxide synthase expression. *Proc. Natl. Acad. Sci. U.S.A.* 91, 4214-4218 (1994)
71. Xia, Y. and Zweier, J.L.: Superoxide and peroxynitrite generation from inducible nitric oxide synthase in macrophages. *Proc. Natl. Acad. Sci. U.S.A.* 94, 6954-6958 (1997)
72. Wang, Y., Newton, D.C., Marsden, P.A.: Neuronal NOS: gene structure, mRNA diversity, and functional relevance. *Crit. Rev. Neurobiol.* 13, 21-43 (1999)
73. Brenman, J.E. and Bredt, D.S.: Synaptic signaling by nitric oxide. *Curr. Opin. Neurobiol.* 7, 374-378 (1997)
74. Huie, R.E. and Padmaja, S.: The reaction of NO with superoxide. *Free Radic. Res. Commun.* 18, 195-199 (1993)
75. Ignarro, L.J.: Signal transduction mechanisms involving nitric oxide. *Biochem. Pharmacol.* 41, 485-490 (1991)
76. Ledo, A., Frade, J., Barbosa, R.M., Laranjinha, J.: Nitric oxide in brain: diffusion, targets and concentration dynamics in hippocampal subregions. *Mol. Aspects Med.* 25, 75-89 (2004)
77. Heales, S.J.R., Bolaños, J.P., Stewart, V.C., Brookes, P.S., Land, J.M., Clark, J.B.: Nitric oxide, mitochondria and neurological disease. *Biochim. Biophys. Acta* 1410, 215-228 (1999)

78. Chung, H.T., Pae, H.O., Choi, B.M., Billiar, T.R., Kim, Y.M.: Nitric oxide as a bioregulator of apoptosis. *Biochem. Biophys. Res. Commun.* 282, 1075-1079 (2001)
79. Blaise, G.A., Gauvin, D., Gangal, M., Authier, S.: Nitric oxide, cell signaling and cell death. *Toxicology* 208, 177-192 (2005)
80. Esplugues, J.V.: NO as a signalling molecule in the nervous system. *Brit. J. Pharmacol.* 135, 1079-1095 (2002)
81. Bohme, G.A., Bon, C., Stutzmann, J.M., Doble, A., Blanchard, J.C.: Possible involvement of nitric oxide in long-term potentiation. *Eur. J. Pharmacol.* 199, 379-381 (1991)
82. Law, A., Gauthier, S., Quirion, R.: Say NO to Alzheimer's disease: the putative links between nitric oxide and dementia of the Alzheimer's type. *Brain Res. Rev.* 35, 73-96 (2001)
83. Kiss, J.P., Vizi, E.S.: Nitric oxide: a novel link between synaptic and nonsynaptic transmission. *Trends Neurosci.* 24, 211-215 (2001)
84. Akyol, O., Zoroglu, S.S., Armutcu, F., Sahin, S., Gurel, A.: Nitric oxide as a physiopathological factor in neuropsychiatric disorders. *In Vivo* 18, 377-390 (2004)
85. Watson, D., Castano, E., Kokjohn, T.A., Kuo, Y.M., Lyubchenko, Y., Pinsky, D., Connolly, E.S., Esh, C., Luehrs, D.C., Stine, W.B., Rowse, L.M., Emmerling, M.R., Roher, A.E.: Physicochemical characteristics of soluble oligomeric Abeta and their pathologic role in Alzheimer's disease. *Neurol. Res.* 27, 869-881 (2005)
86. Brunkan, A.L., Goate, A.M.: Presenilin function and gamma-secretase activity. *J. Neurochem.* 93, 769-792 (2005)
87. Tran, M.H., Yamada, K., Nakajima, A., Mizuno, M., He, J., Kamei, H., Nabeshima, T.: Tyrosine nitration of a synaptic protein synaptophysin contributes to amyloid beta-peptide-induced cholinergic dysfunction. *Mol. Psychiatry* 8, 407-412 (2003)
88. Lüth, H.J., Holzer, M., Gertz, H.J., Arendt, T.: Aberrant expression of nNOS in pyramidal neurons in Alzheimer's disease is highly colocalized with p21ras and p16INK4a. *Brain Res.* 852, 45-55 (2000)
89. Lüth, H.J., Münch, G., Arendt, T.: Aberrant expression of NOS isoforms in Alzheimer's disease is structurally related to nitrotyrosine formation. *Brain Res.* 953, 135-143 (2002)
90. Vodovotz, Y., Lucia, M.S., Flanders, K.C., Chesler, L., Xie, Q., Smith, T.W., Weidner, F., Mumford, R., Webber, R., Nathan, C., Roberts, A.B., Lippa, C.F.,

- Sporn, M.B.: Inducible nitric oxide synthase in tangle-bearing neurons of patients with Alzheimer's disease. *J. Exp. Med.* 184, 1425-1433 (1996)
91. Sohn, Y.K., Ganju, N., Bloch, K.D., Wands, J.R., de la Monte, S.M.: Neuritic sprouting with aberrant expression of the nitric oxide synthase III gene in neurodegenerative disease. *J. Neurol. Sci.* 162, 133-151 (1999)
92. de la Monte, S.M., Sohn, Y.K., Etienne, D., Kraft, J., Wands, J.R.: Role of aberrant nitric oxide synthase-3 expression in cerebrovascular degeneration and vascular-mediated injury in Alzheimer's disease. *Ann. N.Y. Acad. Sci.* 903, 61-71 (2000)
93. DiCiero Miranda, M., de Bruin, V.M., Vale, M.R., Viana, G.S.: Lipid peroxidation and nitrite plus nitrate levels in brain tissue from patients with Alzheimer's disease. *Gerontology* 46, 179-184 (2000)
94. Toghi, H., Abe, T., Yamazaki, K., Murata, T., Isobe, C., Ishizaki, E.: The cerebrospinal fluid oxidized NO metabolites, nitrite and nitrate, in Alzheimer's disease and vascular dementia of Binswanger type and multiple small infarct type. *J. Neural Transm.* 105, 1283-1291 (1998)
95. Selley, M.L.: Increased concentrations of homocysteine and asymmetric dimethylarginine and decreased concentrations of nitric oxide in the plasma of patients with Alzheimer's disease. *Neurobiol. Aging* 24, 903-907 (2003)
96. Keil, U., Bonert, A., Marques, C.A., Scherping, I., Weyermann, J., Strosznajder, J.B., Müller-Spahn, F., Haass, C., Czech, C., Pradier, L., Müller, W.E., Eckert, A.: Amyloid β-induced changes in nitric oxide production and mitochondrial activity lead to apoptosis. *J. Biol. Chem.* 279, 50310-50320 (2004)
97. Toru, M.: Biological research on schizophrenia. *Psychiatry Clin. Neurosci.* 52 Suppl., 170-172 (1998)
98. Ben-Shachar, D., Laifenfeld, D.: Mitochondria, synaptic plasticity and schizophrenia. *Int. Rev. Neurobiol.* 59, 273-296 (2004)
99. Detsch, S.I., Rosse, R.B., Schwartz, B.L., Fay-McCarthy, M., Rosenberg, P.B., Fearing, K.L.: Methylene blue adjuvant therapy of schizophrenia. *Clin. Neuropharmacol.* 4, 357-363 (1997)
100. Lauer, M., Johannes, S., Fritzen, S., Senitz, D., Riederer, P., Reif, A.: Morphological abnormalities in nitric-oxide-synthase-positive striatal interneurons of schizophrenic patients. *Neuropsychobiology* 3, 111-117 (2005)

101. Karson, C.N., Griffin, W.S., Mrak, R.E., Husain, M., Dawson, T.M., Snyder, S.H., Moore, N.C., Sturner, W.Q.: Nitric oxide synthase (NOS) in schizophrenia: increases in cerebellar vermis. *Mol. Chem. Neuropathol.* 27, 275-284 (1996)
102. Baba, H., Suzuki, T., Arai, H., Emson, P.C.: Expression of nNOS and soluble guanylate cyclase in schizophrenic brain. *Neuroreport.* 15, 677-680 (2004)
103. Yao, J.K., Leonard, S., Reddy, R.D.: Increased nitric oxide radicals in *postmortem* brain from patients with schizophrenia. *Schizophr. Bull.* 30, 923-934 (2004)
104. Yanik, M., Vural, H., Kocyigit, A., Tutkun, H., Zoroglu, S.S., Herken, H., Savas, H.A., Koçlu, A., Akyol, O.: Is the arginine-nitric oxide pathway involved in the pathogenesis of schizophrenia? *Neuropsychobiology* 42, 61-65 (2003)
105. Ramirez, J., Garnica, R., Boll, M.C., Montes, S., Rios, C.: Low concentration of nitrite and nitrate in the cerebrospinal fluid from schizophrenic patients: a pilot study. *Schizophr. Res.* 68, 357-361 (2004)
106. Bernstein, H.G., Bogerts, B., Keilhoff, G.: The many faces of nitric oxide in schizophrenia. *Schizophr. Res.* 78, 69-86 (2005)
107. Eastwood, S.L.: Does the CAPON gene confer susceptibility to schizophrenia? *PLoS Med.* 2, e348 (2005)
108. Jaffrey, S.R., Snowman, A.M., Eliasson, M.J.L., Cohen, N.A., Snyder, S.H.: CAPON: a protein associated with neuronal nitric oxide synthase that regulates its interaction PSD95. *Neuron* 20, 115-124 (1998)
109. Mirra, S.S., Heyman, A., McKeel, D., Sumi, S.M., Crain, B.J., Brownlee, L.M., Vogel, F.S., Hughes, J.P., van Belle, G., Berg, L.: The consortium to establish a registry for Alzheimer's disease (CERAD). *Neurology* 41, 479-486 (1991)
110. Hyman, B.T. and Trojanowski, J.Q.: Editorial on consensus recommendations for the *postmortem* diagnosis of Alzheimer disease from the National Institute on Aging and the Reagan Institute Working Group on diagnostic criteria for the neuropathological assessment of Alzheimer disease. *J. Neuropatol. Exp. Neurol.* 56, 1095-1097 (1997)
111. Lecanu, L., Margail, I., Boughali, H., Cohen-Tenoudji, B., Boulu, R.G., Plotkine, M.: Deleterious Ca²⁺-independent NOS activity after oxidative stress in rat striatum. *NeuroReport* 9, 559-563 (1998)

112. Bradford, M.M.: A rapid and sensitive method for the quantitation of microgram quantities of utilizing the principle of protein-dye binding. *Anal. Biochem.* 72, 248-254 (1976)
113. Brown, M.B., Engelmann, L., Jennrich, R.I.: *BMDP Statistical Software Manual*. University of California Press, Berkeley (1990)
114. Řípová, D., Strunecká, A.: An ideal marker of Alzheimer's disease: dream or reality. *Psychol. Res.* 50, 119-129 (2001)
115. Shapleske, J., Rossell, S.L., Woodruff, P.W., David, A.S.: The *planum temporale*: a systematic, quantitative review of its structural, functional and clinical significance. *Brain Res. Brain Res. Rev.* 29, 26-49 (1999)
116. Honeycutt, N.A., Musick, A., Barta, P.E., Pearson, G.D.: Measurement of the *planum temporale* (PT) on magnetic resonance imaging scans: temporal PT alone and with parietal extension. *Psychiatry Res.* 98, 103-116 (2000)
117. Falkai, P., Bogerts, B., Schneider, T., Greve, B., Pfeiffer, U., Pilz, K., Gonsiorzcyk, C., Majtenyi, C., Ovary, I.: Disturbed *planum temporale* asymmetry in schizophrenia. A quantitative *post-mortem* study. *Schizophr. Res.* 14, 161-176 (1995)
118. Zetzsche, T., Meisenzahl, E.M., Preuss, U.W., Holder, J.J., Kathmann, N., Leinsinger, G., Hahn, K., Hegerl, U., Moller, H.J.: In-vivo analysis of the human *planum temporale* (PT): does the definition of PT borders influence the results with regard to cerebral asymmetry and correlation with handedness? *Psychiatry Res.* 107, 99-115 (2001)
119. Blum-Degen, D., Heinemann, T., Lan, J., Pedersen, V., Leblhuber, F., Paulus, W., Riederer, P., Gerlach, M.: Characterization and regional distribution of nitric oxide synthase in the human brain during normal ageing. *Brain Res.* 834, 128-135 (1999)
120. Guoqiang, X., Chavko, M., Zhang, L.X., Yang, S., Post, R.M.: Decreased calcium-dependent constitutive nitric oxide synthase (cNOS) activity in prefrontal cortex in schizophrenia and depression. *Schizophr. Res.* 58, 21-30 (2002)
121. Dorheim, M.A., Ross Tracey, W., Pollock, J.S., Grammas, P.: Nitric oxide synthase activity is elevated in brain microvessels in Alzheimer's disease. *Biochem. Biophys. Res. Commun.* 205, 659-665 (1994)

122. Kuiper, M.A., Visser, J.J., Bermans, P.L.M., Scheltens, P., Wolters, E.C.: Decreased cerebrospinal fluid nitrate levels in Parkinson's disease, Alzheimer disease and multiple system atrophy patients. *J. Neurol. Sci.* 121, 46-49 (1994)
123. Das, I., Khan, N.S., Puri, B.K., Hirsch, S.R.: Elevated endogenous nitric oxide synthase inhibitor in schizophrenic plasma may reflect abnormalities in brain nitric oxide production. *Neurosci Lett.* 215, 209-211 (1996)
124. Bartha, R., Williamson, P.C., Drost, D.J., Malla, A., Carr, T.J., Cortese, L., Canaran, G., Rylett, R.J., Neufeld, R.W.: Measurement of glutamate and glutamine in the medial prefrontal cortex of never-treated schizophrenic patients and healthy controls by proton magnetic resonance spectroscopy. *Arch. Gen. Psychiatry* 54, 959-965 (1997)
125. Kuiper, M.A., Teerlink, T., Visser, J.J., Bergmans, P.L.M., Scheltens, P., Wolters, E.Ch.: L-glutamate, L-arginine and L-citrulline levels in cerebrospinal fluid of Parkinson's disease, multiple system atrophy, and Alzheimer's disease patients. *J. Neural. Transm.* 107, 183-189 (2000)
126. Zach, P., Krištofíková, Z., Majer, E., Selinger, P., Řípová, D: Alterations in the *planum temporale* in patients with Alzheimer disease estimated via a new volumetric method. V knize: New Trends in Alzheimer and Parkinson Related Disorders: ADPD 2005 (Fisher, A., Hanin, I., Memo, M., Stocchi, F. ed.) Medimond, Bologna (2005)
127. Science-Based Health Management,
http://www.hf123.com/1998_nobel_physiology_medicine-premium_edition.htm
128. BIODIDAC - a bank of digital resources for teaching biology,
http://biodidac.bio.uottawa.ca/ftp/BIODIDAC/ZOO/GENERAL/DIAGBW/GENE01_1B.GIF
129. Amuse Yourself!, www.amuseyourself.com
130. Feng Shui Masters, http://fengshuimasters.org/image/face_reading1001_2.jpg
131. Denis Rousseau's Laboratory,
<http://www.aecom.yu.edu/home/biophysics/rousseau/nos/nos1.jpg>
132. Science-Based Health Management, <http://www.hf123.com/info/NO%20pisces1.gif>

9. SEZNAM POUŽITÝCH ZKRATEK

| | |
|----------|---|
| (f)MRI | (funkční) magnetická rezonance |
| AD | Azheimerova choroba |
| AMPA | α -amino-3-hydroxy-5-methyl-4-isoxazolepropionová kyselina |
| ApoE | apolipoprotein E |
| APP | amyloid-prekurzorový protein |
| $A\beta$ | amyloid- β peptid |
| BH4 | tetrahydrobiopterin |
| BSA | bovinní sérumalbumin |
| CAPON | carboxyl-terminal PDZ ligand of neuronal nitric oxide synthase |
| cGMP | cyklický guanosin-3', 5'-monofosfát |
| EDTA | ethylendiamin-tetraoctová kyselina |
| EGTA | ethylen glykol-bis(β -aminoethyl ether)-N,N,N,N-tetraoctová kyselina |
| FAD | flavin adenin dinukleotid |
| FMN | flavin adenin mononukleotid |
| GABA | γ -aminomáselná kyselina |
| GC | guanylát cykláza |
| HEPES | N-(2-hydroxyethyl)piperazine-N'-2-ethan sulfonová kyselina |
| IL | interleukin |
| L-NAME | N ω -nitro-L-arginin methyl ester |
| LTP | dlouhodobá potenciace |
| MID | multi-infarktová demence |
| NADPH | β -nikotinamid adenin dinukleotid fosfát |
| NF | nuclear factor |
| NMDA | N-methyl-D-aspartát |
| NOS | syntáza oxidu dusnatého |
| nNOS | neuronální syntáza oxidu dusnatého |
| eNOS | endotelová syntáza oxidu dusnatého |
| iNOS | indukovatelná syntáza oxidu dusnatého |
| PAGE | elektroforéza na polyakrylamidovém gelu |
| PT | <i>planum temporale</i> |
| RS+ | „right shift“ gen |

SDS sodiumdodecyl sulfát
TNF tumor necrosis factor
Tris 2-amino-2-(hydroxymethyl)propan-1,3-diol

10. PŘÍLOHY

tab. A: Podrobné charakteristiky celkového (původního) souboru pacientů

| Pořadové číslo | Č. pitevního protokol/rok | Pohlaví | Věk (roky) | Příčina úmrtí | diagnoza | poznámka |
|----------------|---------------------------|---------|------------|---------------|--------------|--|
| 13 -1 | 232/03 | M | 82 | CI | AD | |
| 14- 2 | 249/03 | M | 76 | CI | MID | |
| 15- 3 | 262/03 | F | 82 | CI | AD | |
| 16 -4 | 310/03 | F | 85 | U | AD | |
| 17-5 | B1/03 | M | 79 | MI | kontrola | nedementní, nepsychiatrická (parkinsonismus) |
| 18-6 | B2/03 | M | 75 | TC | kontrola | nedementní, nepsychiatrická |
| 19-7 | B3/03 | M | 59 | Bl. | kontrola | nedementní, nepsychiatrická |
| 20-8 | B4/03 | F | 50 | H | kontrola | nedementní, nepsychiatrická |
| 21-9 | 337/03 | F | 47 | CI | schizofrenie | chronická |
| 22-10 | 340/03 | F | 92 | CI | AD | |
| 23-11 | 342/03 | F | 84 | CI | AD | |
| 24-12 | 353/03 | M | 83 | CI | AD | |
| 25-13 | 438/03 | F | 86 | CI | MID | |
| 26-14 | B5/03 | M | 69 | M | kontrola | nedementní, nepsychiatrická |
| 27-15 | B6/03 | F | 81 | MI | AD | |
| 28-16 | 45/04 | M | 77 | CI | MID | |
| 29-17 | B7/04 | M | 78 | ChP | AD | |
| 30-18 | B8/04 | F | 81 | CI | AD | |
| 31-19 | B9/04 | F | 87 | CI | AD | |
| 32-20 | 63/04 | M | 82 | BP | MID | |
| 33-21 | 64/04 | M | 58 | M | kontrola | nedementní, nepsychiatrická |
| 34-22 | 69/04 | M | 79 | CI | MID | Binswanger |
| 35-23 | 71/04 | F | 55 | M | kontrola | nedementní, nepsychiatrická |
| 36-24 | 72/04 | M | 75 | CI | AD | |
| 37-25 | 103/04 | M | 80 | CI | AD | |
| 38-26 | 124/04 | M | 88 | BP | AD | |
| 39-27 | 133/04 | M | 70 | CI | AD | |
| 40-28 | 138/04 | M | 87 | CI | MIX | |
| 41-29 | B10/04 | M | 71 | M | kontrola | nedementní, nepsychiatrická |
| 42-30 | B11/04 | F | 79 | M | kontrola | nedementní, nepsychiatrická |
| 43-31 | B12/04 | M | 84 | CI | kontrola | nedementní, nepsychiatrická |
| 44-32 | B13/04 | F | 62 | M | kontrola | nedementní, nepsychiatrická |
| 45-33 | B14/04 | M | 79 | CI | kontrola | nedementní, nepsychiatrická |
| 46-34 | B15/04 | M | 58 | EXS | AD | |
| 47-35 | 303/04 | M | 79 | BP | MIX | |
| 48-36 | 309/04 | F | 84 | CI | AD | |

| | | | | | | |
|-------|--------|---|----|----|--------------|--------------------------------|
| 49-37 | 324/04 | M | 81 | CI | AD | |
| 50-38 | V1/04 | M | 77 | CI | schizofrenie | reziduální |
| 51-39 | D1/04 | M | 75 | PE | schizofrenie | reziduální |
| 52-40 | D2/04 | F | 70 | PE | schizofrenie | reziduální |
| 53-41 | D3/04 | M | 65 | BP | schizofrenie | paranoidní |
| 54-42 | V2/04 | F | 82 | BP | schizofrenie | reziduální |
| 55-43 | B16/05 | M | 78 | P | kontrola | nedementní, nepsychiatrická |
| 56-44 | B17/05 | F | 72 | U | kontrola | nedementní, nepsychiatrická |
| 57-45 | V3/05 | F | 74 | CI | MIX | |
| 58-46 | V4/05 | F | 77 | CI | MID | |
| 59-47 | V5/05 | F | 85 | CI | MID | |
| 60-48 | D4/05 | M | 60 | CI | schizofrenie | paranoidní |
| 61-49 | D5/05 | M | 67 | BP | schizofrenie | chronická |
| 62-50 | D6/05 | F | 75 | BP | schizofrenie | chronická |

Označení vzorků: číslo pitevního protokolu/rok – vzorky z PL Bohnice, Bx/rok – vzorky z FN Bulovka, Vx/rok – vzorky z PATOL s.r.o., Dx/rok – vzorky z PL Dobřany

Sex: M – muž, F – žena

Příčina úmrtí: CI - cardiac insufficiency, BP - bronchopneumonia, A – asphyxia, U – uremia, MI – myocardial infarct, TC – tumorous cachexia, BI – brain infarct, H – hepatocirrhosis, M – malignancy, ChP – cholecyst perforation, EXS – exsanguination, P - peritonitis

Diagnóza: AD – Alzheimer disease, MID – multi-infarct dementia, MIX – mixed types of dementia

tab. B: Expresce enzymů nNOS, eNOS a iNOS v pravém (P) a levém (L) mediálním hipokampu
(optická densita)

| č. | nNOS | | | eNOS | | | iNOS | | |
|----|-------|-------|---------|------|------|---------|------|------|---------|
| | P | L | L-P/L+P | P | L | L-P/L+P | P | L | L-P/L+P |
| 1 | 2875 | 6322 | +0.375 | 2596 | 3792 | +0.187 | 1141 | 1120 | -0.009 |
| 2 | 8568 | 9550 | +0.054 | 3782 | 1840 | -0.345 | 992 | 636 | -0.219 |
| 3 | 4697 | 8802 | +0.304 | 1668 | 1904 | +0.066 | 41 | 286 | +0.749 |
| 4 | 6307 | 7275 | +0.071 | 1937 | 2910 | +0.193 | 2325 | 1475 | -0.224 |
| 5 | 11119 | 10763 | -0.016 | 1004 | 420 | -0.410 | 7950 | 3194 | -0.427 |
| 6 | 8429 | 13868 | +0.244 | 1 | 950 | +0.998 | 866 | 1502 | +0.269 |
| 7 | 14985 | 18852 | +0.114 | 2685 | 1677 | -0.231 | 2143 | 2337 | +0.043 |
| 8 | 19326 | 17343 | -0.054 | 1266 | 1115 | -0.063 | 1607 | 2579 | +0.232 |
| 9 | 0 | 12568 | +1.000 | 4276 | 4046 | -0.028 | 3120 | 2539 | -0.103 |
| 10 | 11632 | 13769 | +0.084 | 4744 | 5371 | +0.062 | 535 | 1154 | +0.366 |
| 11 | 11879 | 18717 | +0.223 | 3562 | 3917 | +0.047 | 1228 | 1518 | +0.106 |
| 12 | 1960 | 2156 | +0.048 | 880 | 1238 | +0.169 | 3327 | 2756 | -0.094 |
| 13 | 1004 | 350 | -0.483 | 772 | 779 | +0.005 | 1769 | 2042 | +0.072 |
| 14 | 1037 | 1812 | +0.272 | 4412 | 4287 | -0.014 | 1347 | 1844 | +0.156 |
| 15 | 3786 | 7381 | +0.322 | 944 | 493 | -0.314 | 5071 | 5043 | -0.003 |
| 16 | 5700 | 5652 | -0.004 | 845 | 1012 | +0.090 | 3682 | 2871 | -0.124 |
| 17 | 4310 | 7768 | +0.286 | 1236 | 2239 | +0.289 | 1479 | 2758 | +0.302 |
| 18 | 3188 | 2294 | -0.163 | 5226 | 5937 | +0.064 | 573 | 855 | +0.197 |
| 19 | 2819 | 3681 | +0.133 | 5582 | 6069 | +0.042 | 636 | 743 | +0.078 |
| 20 | 3929 | 3667 | -0.034 | 7895 | 5731 | -0.159 | 619 | 519 | -0.088 |
| 21 | 2301 | 2214 | -0.019 | 3040 | 3095 | +0.009 | 1912 | 1430 | -0.144 |
| 22 | 2798 | 2926 | +0.022 | 4006 | 2072 | -0.318 | 1382 | 1055 | -0.134 |
| 23 | 2475 | 1685 | -0.190 | 2134 | 2635 | +0.105 | 632 | 765 | +0.095 |
| 24 | 3110 | 2668 | -0.076 | 3334 | 3437 | +0.015 | 2296 | 1403 | -0.241 |
| 25 | 1566 | 1278 | -0.101 | 4282 | 5540 | +0.128 | 715 | 1958 | +0.465 |
| 26 | 1879 | 2374 | +0.116 | 4808 | 5164 | +0.036 | 1944 | 2961 | +0.207 |
| 27 | 2624 | 1994 | -0.136 | 4766 | 5948 | +0.110 | 577 | 951 | +0.245 |
| 28 | 2686 | 3436 | +0.123 | 4761 | 5738 | +0.093 | 1589 | 3283 | +0.348 |
| 29 | 2870 | 2884 | +0.002 | 4960 | 3552 | -0.165 | 1873 | 1489 | -0.114 |
| 30 | 1523 | 2662 | +0.272 | 3166 | 2427 | -0.132 | 6190 | 5488 | -0.060 |
| 31 | 3316 | 3586 | +0.039 | 5100 | 6677 | +0.134 | 6638 | 7148 | +0.037 |
| 32 | 2866 | 2743 | -0.022 | 7209 | 5619 | -0.124 | 3416 | 3385 | -0.005 |
| 33 | 4273 | 3964 | -0.038 | 6019 | 3719 | -0.236 | 4572 | 2616 | -0.272 |
| 34 | 4778 | 5074 | +0.030 | 6240 | 6073 | -0.014 | 2163 | 3197 | +0.193 |
| 35 | 5665 | 5200 | -0.043 | 4495 | 4031 | -0.054 | 1132 | 1871 | +0.246 |
| 36 | 1781 | 1519 | -0.079 | 2635 | 4321 | +0.242 | 2254 | 2584 | +0.068 |
| 37 | 1391 | 1655 | +0.087 | 2554 | 2800 | +0.046 | 2084 | 2298 | +0.049 |
| 38 | 1357 | 974 | -0.164 | 2858 | 3830 | +0.207 | 2305 | 2332 | +0.006 |
| 39 | 2936 | 3449 | +0.080 | 4751 | 4201 | -0.061 | 2948 | 1757 | -0.253 |
| 40 | 1642 | 2557 | +0.218 | 3551 | 4839 | +0.154 | 552 | 784 | +0.174 |
| 41 | 4712 | 1854 | -0.435 | 5696 | 5323 | -0.034 | 2046 | 2062 | +0.004 |
| 42 | 1904 | 2184 | +0.068 | 6430 | 5374 | -0.089 | 1226 | 1927 | +0.222 |
| 43 | 1417 | 1655 | +0.077 | 8406 | 3063 | -0.466 | 2381 | 1606 | -0.194 |
| 44 | 1695 | 3789 | +0.382 | 6576 | 6632 | +0.004 | 2049 | 655 | -0.516 |
| 45 | 2829 | 2529 | -0.056 | 6809 | 5167 | -0.137 | 1618 | 1436 | -0.060 |
| 46 | 2039 | 1852 | -0.048 | 4457 | 4551 | +0.010 | 699 | 1521 | +0.370 |
| 47 | 2078 | 3709 | +0.282 | 6897 | 6025 | -0.067 | 1338 | 1668 | +0.110 |
| 48 | 2787 | 3474 | +0.110 | 2763 | 5084 | +0.296 | 7166 | 4580 | -0.220 |
| 49 | 2923 | 2419 | -0.094 | 5555 | 7635 | +0.158 | 4989 | 3093 | -0.235 |
| 50 | 2340 | 2862 | +0.100 | 4753 | 3424 | -0.163 | 2379 | 3121 | +0.135 |

tab. C: Aktivita enzymů nNOS, eNOS a iNOS (nmoly/30 min/mg proteinů) v pravém (P) a levém (L) rostrálním hipokampu

| č. | nNOS P | nNOS L | nNOS L-P/L+P | eNOS P | eNOS L | eNOS L-P/L+P | iNOS P | iNOS L | iNOS L-P/L+P |
|----|-----------|-----------|-----------------|-----------|-----------|-----------------|-----------|-----------|-----------------|
| 1 | 31.29 | 47.69 | +0.208 | 42.62 | 49.14 | +0.071 | 2.00 | 2.68 | +0.145 |
| 2 | 22.00 | 19.48 | -0.061 | 22.89 | 27.42 | +0.090 | 1.94 | 0 | -1.000 |
| 3 | 0 | 0 | 0 | 4.55 | 2.43 | -0.304 | 0.52 | 1.45 | +0.472 |
| 4 | 7.23 | 18.34 | +0.434 | 18.62 | 34.12 | +0.294 | 0 | 3.26 | +1.000 |
| 5 | 1.14 | 3.85 | +0.543 | 0.09 | 0 | -1.000 | 0.62 | 0 | -1.000 |
| 6 | 3.17 | 9.97 | +0.518 | 6.98 | 14.92 | +0.363 | 0 | 2.46 | +1.000 |
| 7 | 7.78 | 11.11 | +0.176 | 23.88 | 48.71 | +0.342 | 2.58 | 3.17 | +0.103 |
| 8 | 41.08 | 71.66 | +0.271 | 44.68 | 68.80 | +0.213 | 2.40 | 0.31 | -0.771 |
| 9 | 231.88 | 83.17 | -0.472 | 194.98 | 64.92 | -0.500 | 24.55 | 3.75 | -0.735 |
| 10 | 15.82 | 19.51 | +0.104 | 11.14 | 18.34 | +0.244 | 0 | 0.49 | +1.000 |
| 11 | 8.25 | 13.85 | +0.253 | 56.34 | 52.86 | -0.032 | 3.57 | 0 | -1.000 |
| 12 | 0 | 7.35 | +1.000 | 5.02 | 3.66 | -0.157 | 1.51 | 0.18 | -0.787 |
| 13 | 3.94 | 12.52 | +0.521 | 6.25 | 6.06 | -0.015 | 0 | 0 | 0 |
| 14 | 1.88 | 11.94 | +0.728 | 9.60 | 7.72 | -0.109 | 0 | 1.85 | +1.000 |
| 15 | 24.37 | 18.65 | -0.133 | 32.34 | 60.03 | +0.300 | 1.02 | 2.55 | +0.429 |
| 16 | 61.05 | 30.58 | -0.333 | 56.25 | 37.48 | -0.200 | 0 | 1.97 | +1.000 |
| 17 | 28.77 | 68.71 | +0.410 | 30.22 | 56.40 | +0.302 | 3.66 | 1.05 | -0.555 |
| 18 | 10.22 | 16.12 | +0.224 | 21.05 | 33.72 | +0.231 | 0 | 2.25 | +1.000 |
| 19 | 22.65 | 12.18 | -0.301 | 25.29 | 18.83 | -0.146 | 0 | 4.37 | +1.000 |
| 20 | 22.40 | 12.80 | -0.273 | 21.72 | 13.94 | -0.218 | 0.80 | 2.86 | +0.563 |
| 21 | 23.05 | 0.46 | -0.961 | 77.63 | 10.68 | -0.758 | 0 | 5.54 | +1.000 |
| 22 | 27.83 | 10.03 | -0.470 | 21.79 | 14.77 | -0.192 | 0 | 1.20 | +1.000 |
| 23 | 41.15 | 5.90 | -0.749 | 48.65 | 16.00 | -0.505 | 0 | 0 | 0 |
| 24 | 5.50 | 10.50 | +0.313 | 14.75 | 22.70 | +0.212 | 0 | 6.25 | +1.000 |
| 25 | 0 | 24.75 | +1.000 | 1.70 | 61.10 | +0.946 | 0 | 1.60 | +1.000 |
| 26 | 15.45 | 67.20 | +0.626 | 60.05 | 118.90 | +0.329 | 3.80 | 0 | -1.000 |
| 27 | 0 | 1.30 | +1.000 | 6.15 | 18.40 | +0.499 | 2.10 | 8.10 | +0.588 |
| 28 | 4.10 | 31.20 | +0.768 | 13.30 | 45.65 | +0.549 | 4.50 | 6.60 | +0.189 |
| 29 | 31.00 | 16.55 | -0.304 | 38.70 | 32.65 | -0.085 | 0 | 3.55 | +1.000 |
| 30 | 87.45 | 54.10 | -0.236 | 83.35 | 107.10 | +0.125 | 0 | 6.15 | +1.000 |
| 31 | 24.95 | 10.30 | -0.416 | 33.15 | 34.50 | +0.020 | 1.90 | 0 | -1.000 |
| 32 | 13.45 | 16.40 | +0.099 | 30.75 | 11.15 | -0.468 | 4.05 | 2.25 | -0.286 |
| 33 | 10.10 | 12.80 | +0.118 | 22.75 | 9.85 | -0.396 | 2.15 | 0 | -1.000 |
| 34 | 66.65 | 80.90 | +0.097 | 64.35 | 75.65 | +0.081 | 0 | 3.8 | +1.000 |
| 35 | 0 | 2.40 | +1.000 | 3.30 | 3.50 | +0.029 | 0.55 | 2.05 | +0.577 |
| 36 | 1.20 | 52.85 | +0.956 | 95.25 | 85.75 | -0.052 | 32.65 | 9.90 | -0.535 |
| 37 | 31.80 | 38.60 | +0.097 | 44.95 | 56.00 | +0.109 | 0 | 0.65 | +1.000 |
| 38 | 29.25 | 60.25 | +0.346 | 0.85 | 0 | -1.000 | 37.40 | 23.45 | -0.229 |
| 39 | 650.20 | 238.10 | -0.464 | 560.60 | 156.80 | -0.563 | 0 | 8.45 | +1.000 |
| 40 | 0.35 | 0 | -1.000 | 15.35 | 9.30 | -0.245 | 5.30 | 0 | -1.000 |
| 41 | 9.00 | 0.10 | -0.978 | 17.55 | 18.55 | +0.028 | 9.75 | 1.15 | -0.789 |
| 42 | 33.85 | 37.55 | +0.052 | 27.00 | 46.75 | +0.268 | 11.75 | 64.20 | +0.691 |
| 43 | 46.90 | 61.40 | +0.134 | 45.70 | 26.10 | -0.273 | 0.60 | 1.45 | +0.415 |
| 44 | 17.10 | 21.95 | +0.124 | 22.05 | 19.60 | -0.059 | 4.45 | 10.10 | +0.388 |
| 45 | 48.30 | 57.60 | +0.088 | 17.40 | 29.35 | +0.256 | 3.75 | 6.95 | +0.299 |
| 46 | 12.35 | 14.50 | +0.080 | 3.35 | 5.75 | +0.264 | 0.75 | 0 | -1.000 |
| 47 | 14.45 | 11.15 | -0.129 | 1.90 | 5.15 | +0.461 | 6.80 | 0.95 | -0.755 |
| 48 | 330.30 | 340.85 | +0.016 | 245.20 | 291.65 | +0.087 | 8.30 | 0 | -1.000 |
| 49 | 43.15 | 31.40 | -0.158 | 17.00 | 42.20 | +0.426 | 23.60 | 0 | -1.000 |
| 50 | 11.60 | 7.40 | -0.221 | 16.05 | 8.35 | -0.316 | 0.70 | 1.30 | +0.300 |